



フレーバー物理とハドロンの不定性

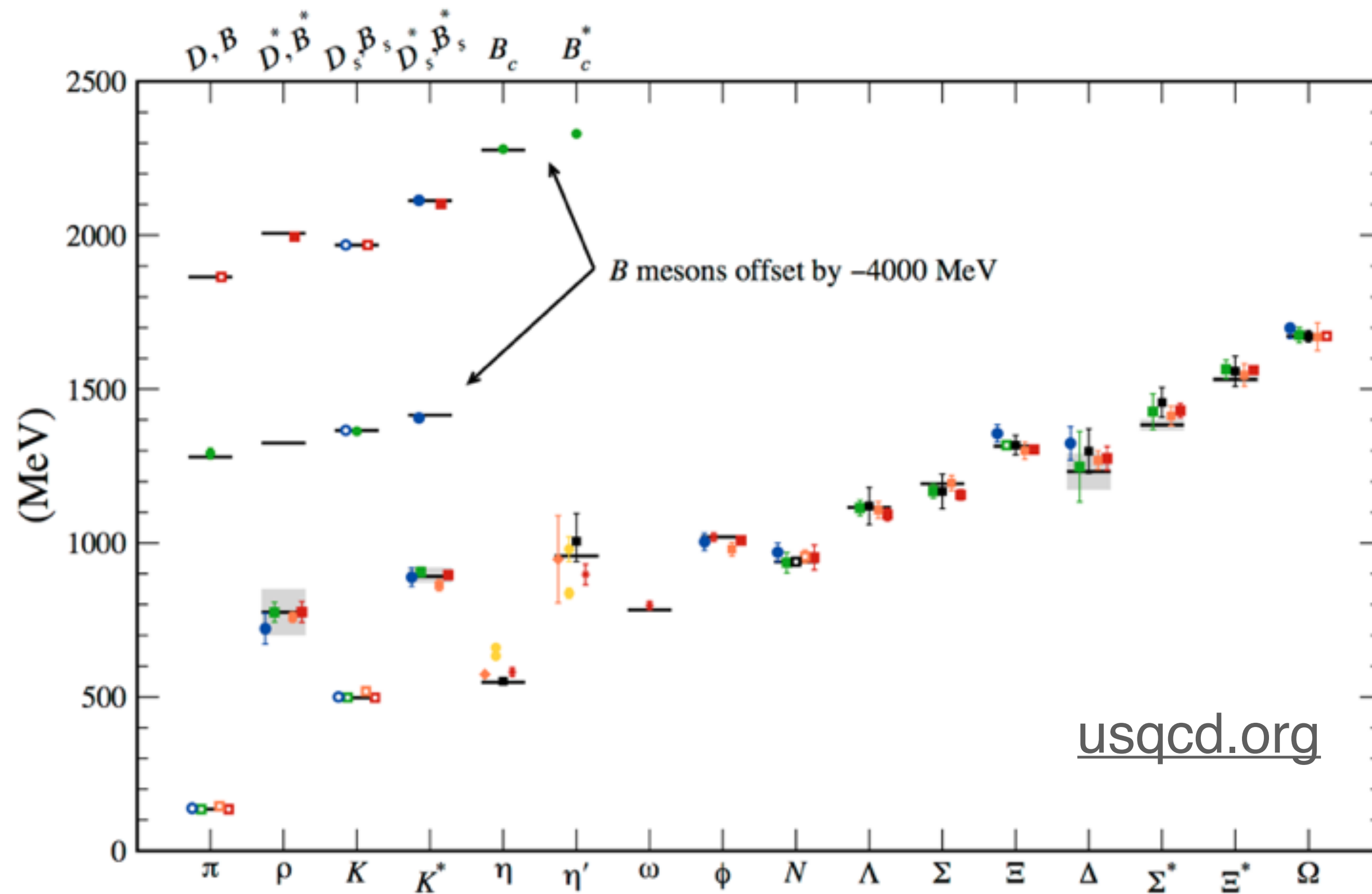
～格子QCDでは何ができて何ができないのか

橋本省二 (KEK, 総研大)

@ 基研研究会 素粒子物理学の進展2021

2021年9月7日

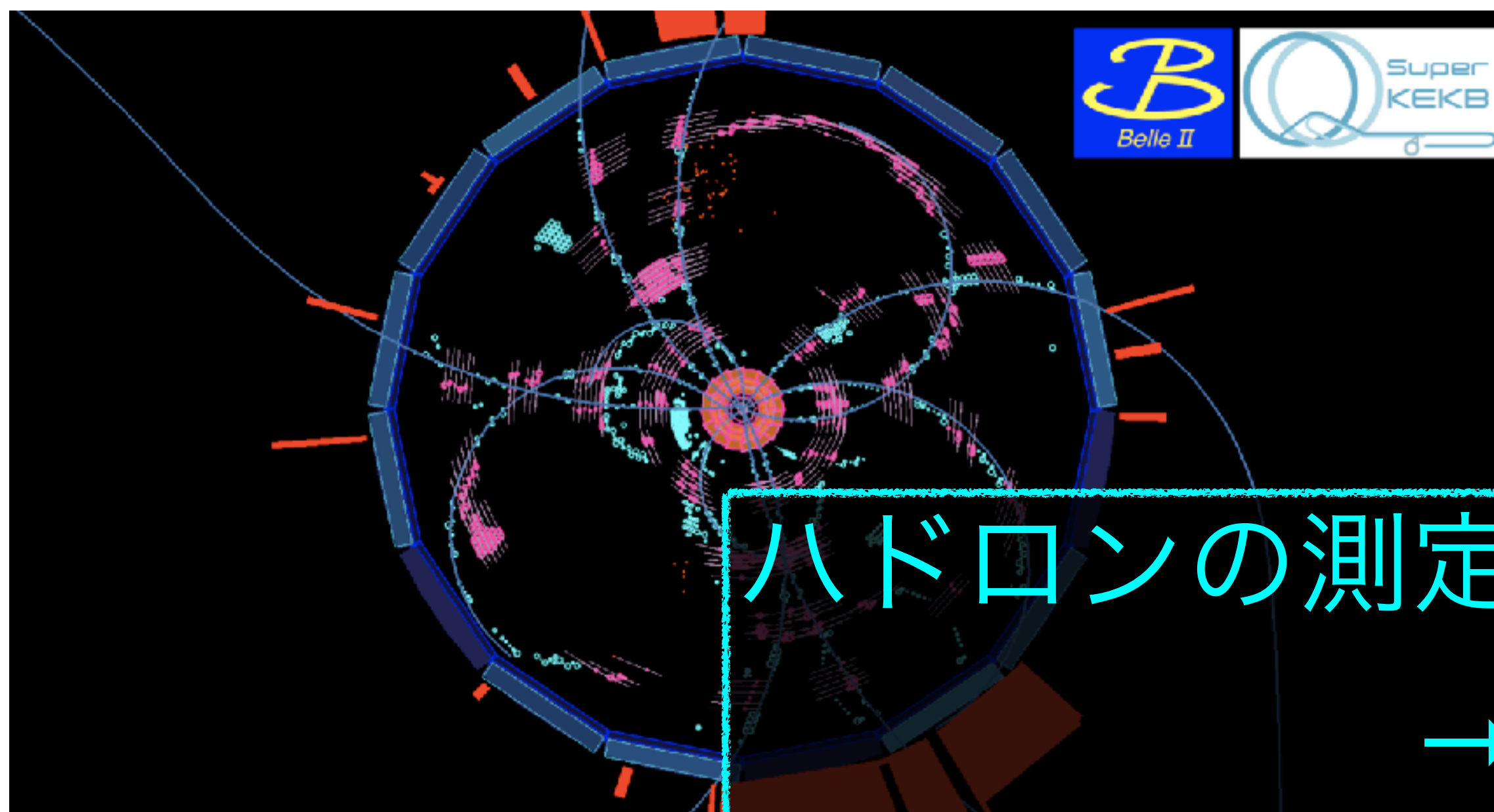
格子QCD：量子色力学の「第一原理計算」



ハドロン質量

さまざまな系統誤差を制御した精密計算が可能になった。実験値を再現。

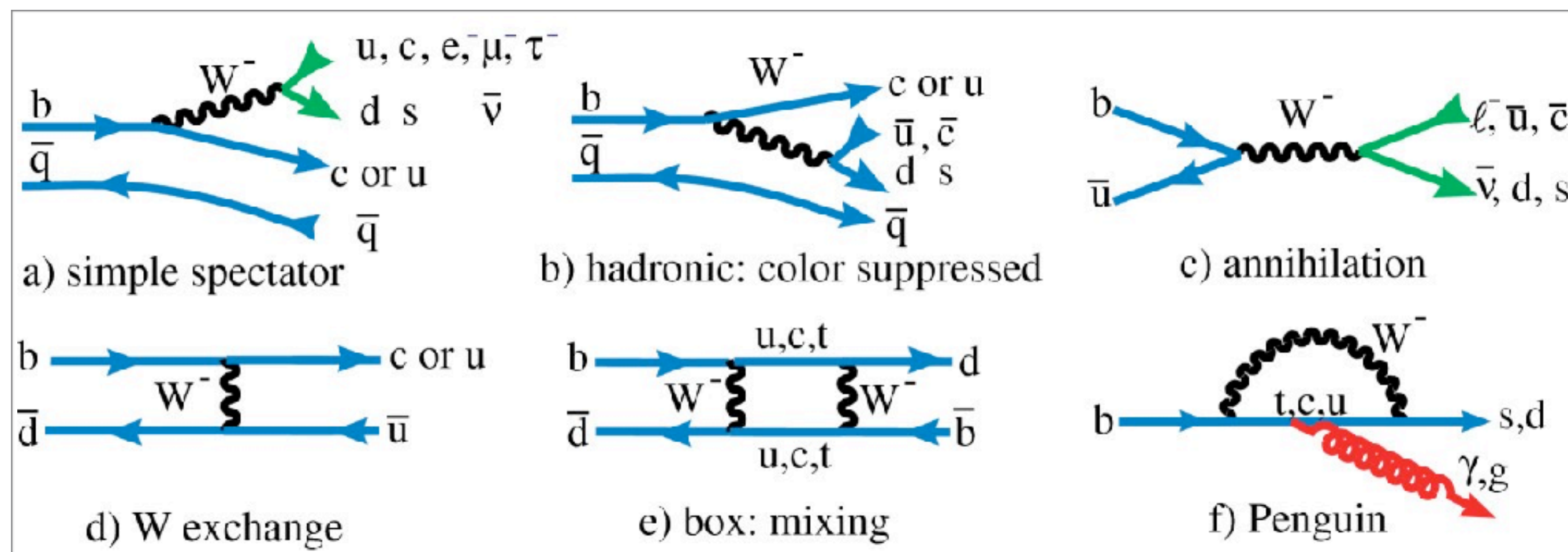
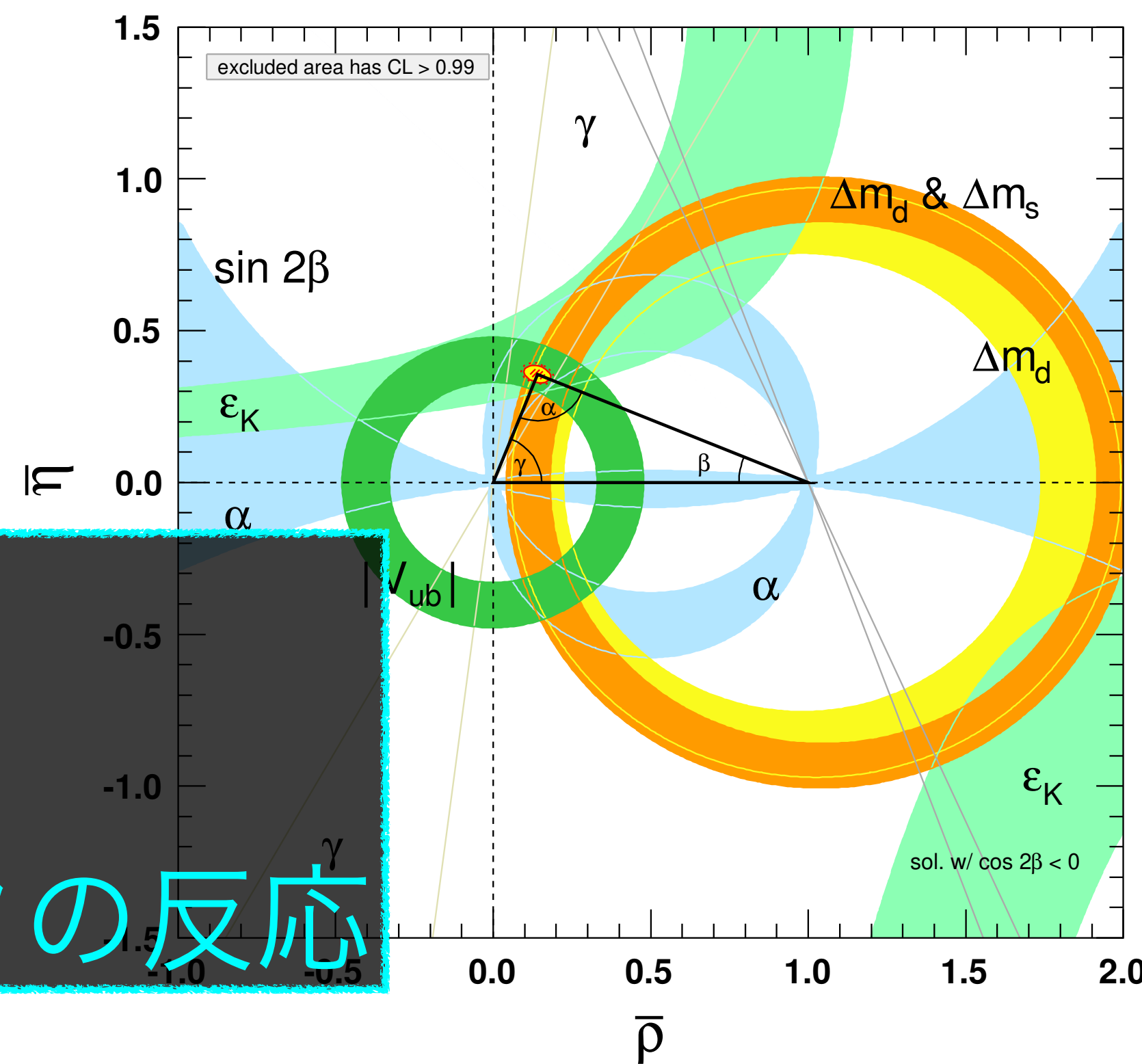
フレーバー物理での要求：



ハドロンの測定



クォークの反応



格子QCD の役割 = (精密な) 翻訳

ハドロンの不定性：あらゆるところにある。

格子QCDでは何ができて何ができないのか

レビューではありません。

最新の数値等のレビューはこちら

- FLAG 2019: <http://flag.unibe.ch/2019/>

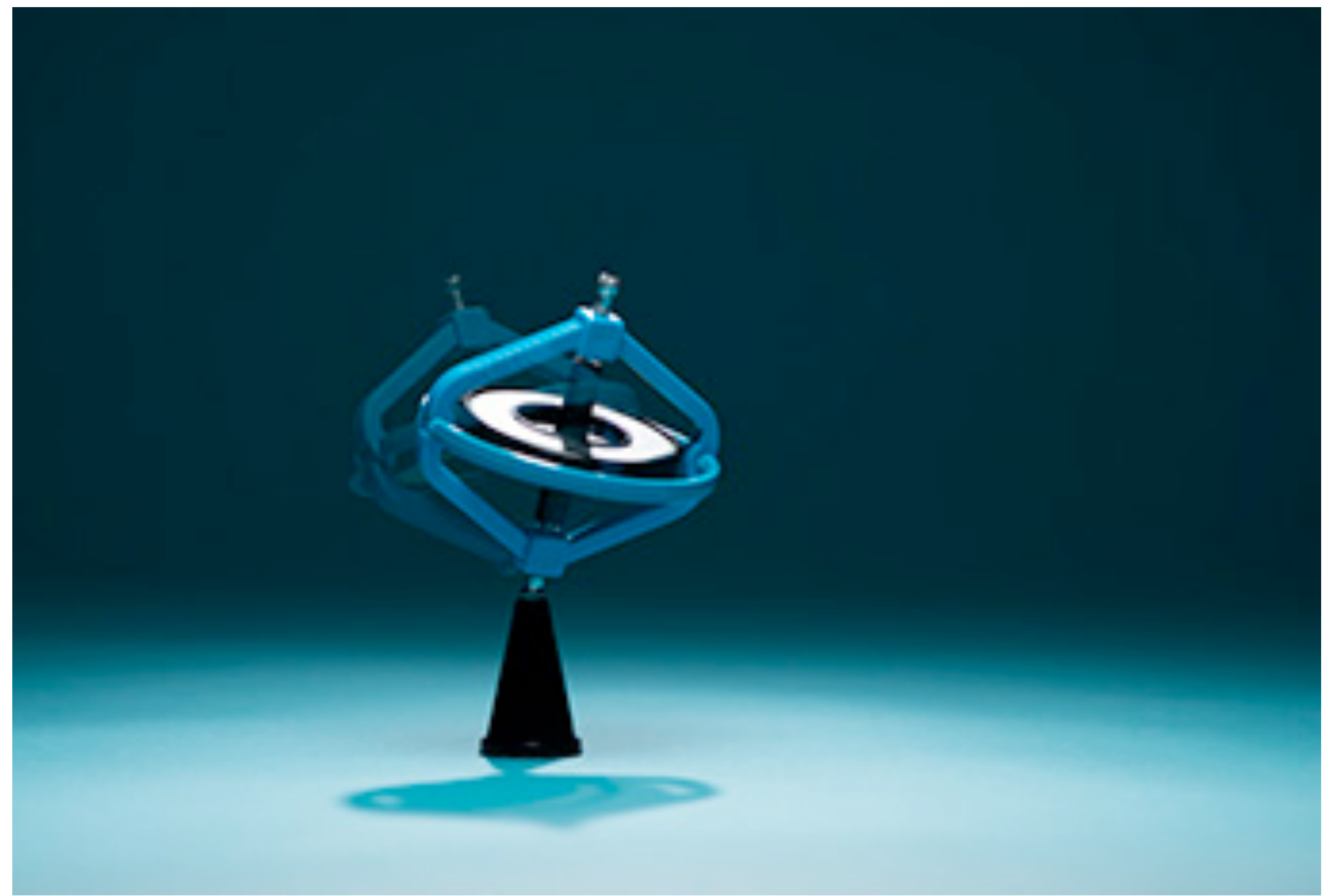


アップデート (2021) 作業中

目次

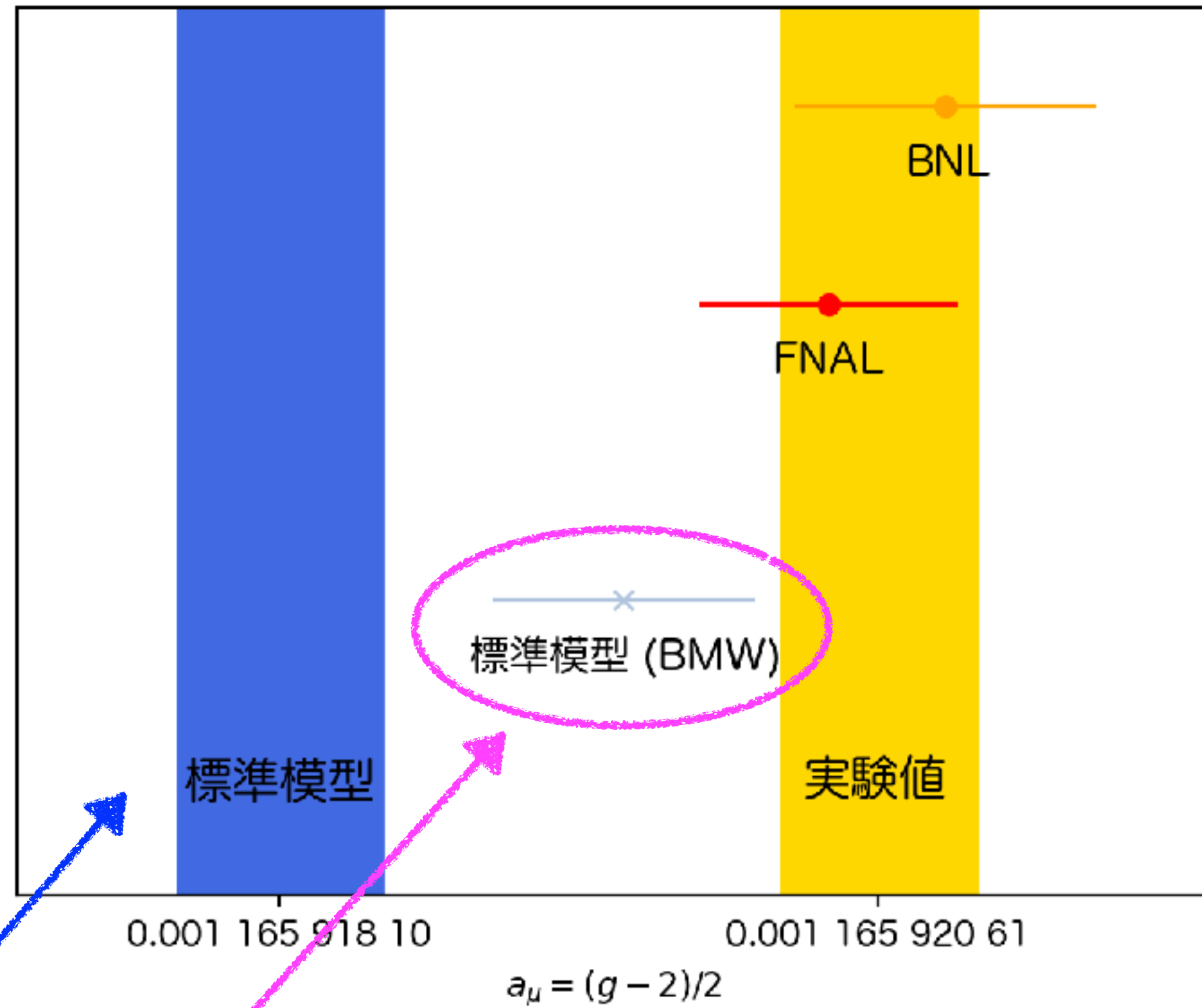
1. ミューオン $g-2$
2. K中間子崩壊 ε'/ε
3. 符号問題 or スペクトル関数
4. 包括的過程

ミューオン $g-2$



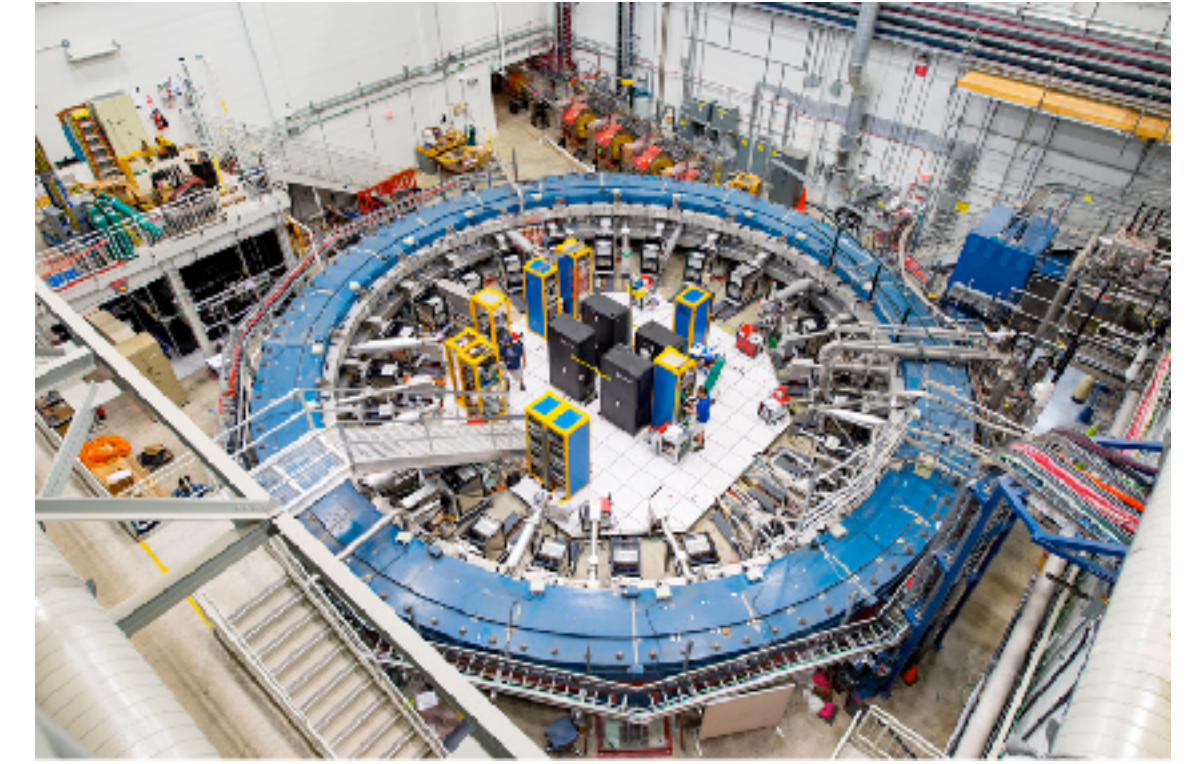
ミューオン $g-2$

2021年4月

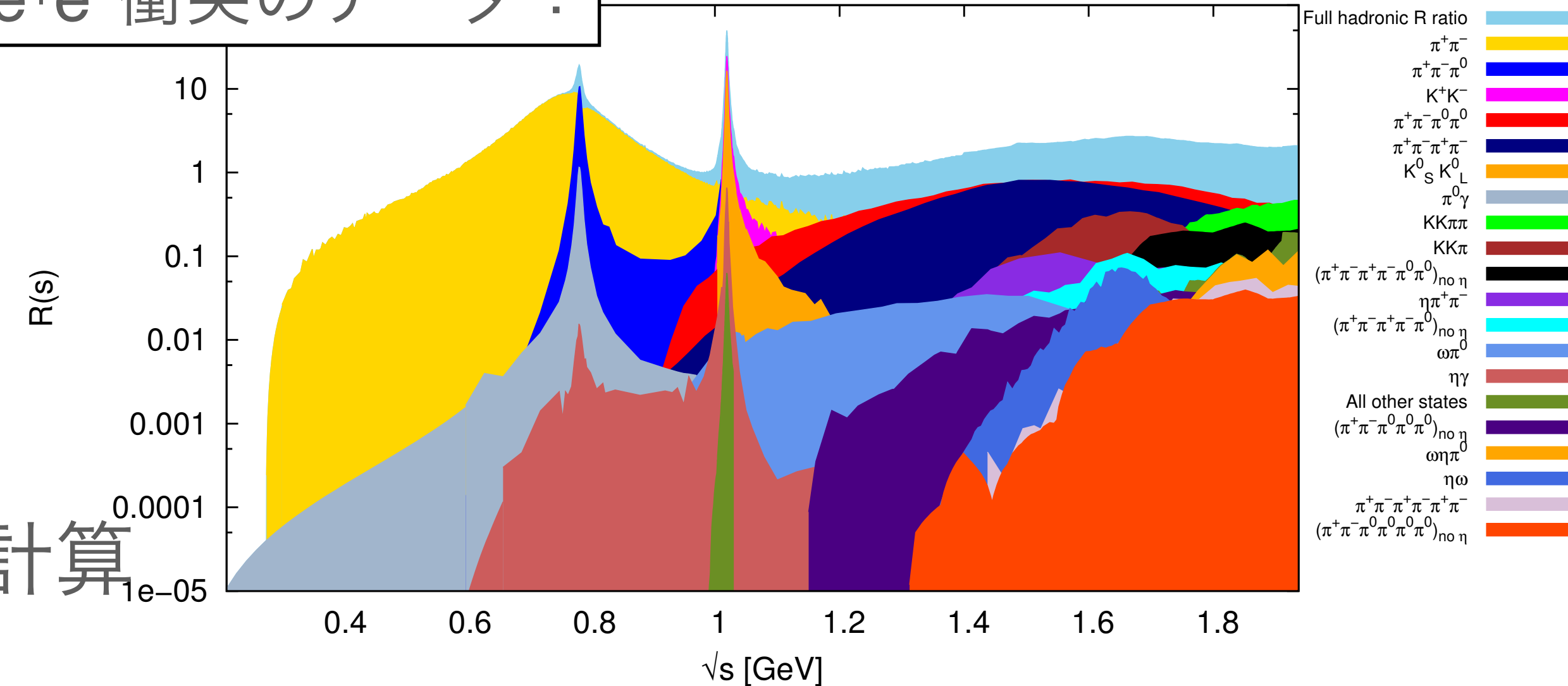


$$\text{had.} = \int \frac{ds}{\pi(s-q^2)} \text{Im had.}$$

$$2 \text{Im had.} = \sum_{\text{had.}} \int d\Phi \left| \text{had.} \right|^2$$



e^+e^- 衝突のデータ:

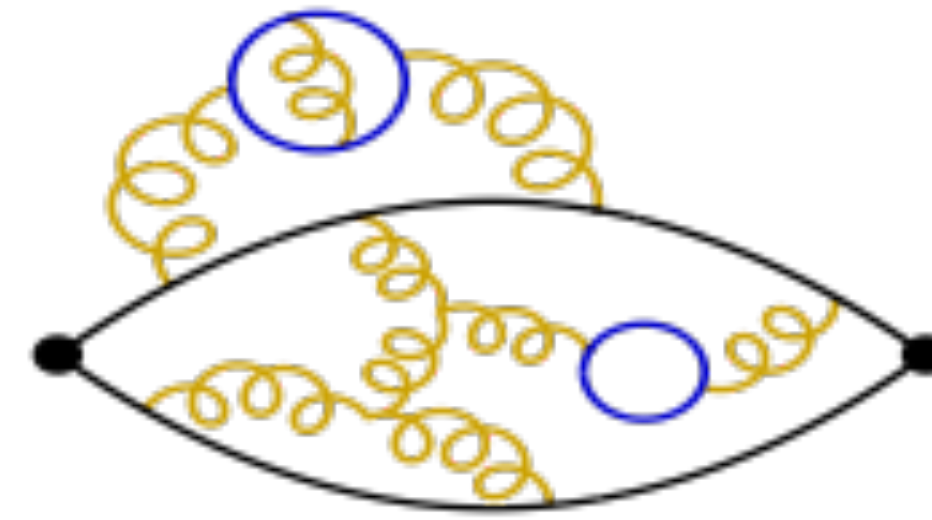


Muon $g-2$ Theory Initiative: 2006.04822
(分散関係を用いた評価)

BMW (2021) 初めて 1% を切った格子QCD計算

真空偏極

$$\Pi_{\mu\nu}(x) = \langle 0|T\{J_{\mu}(x)J_{\nu}(0)\}|0\rangle$$

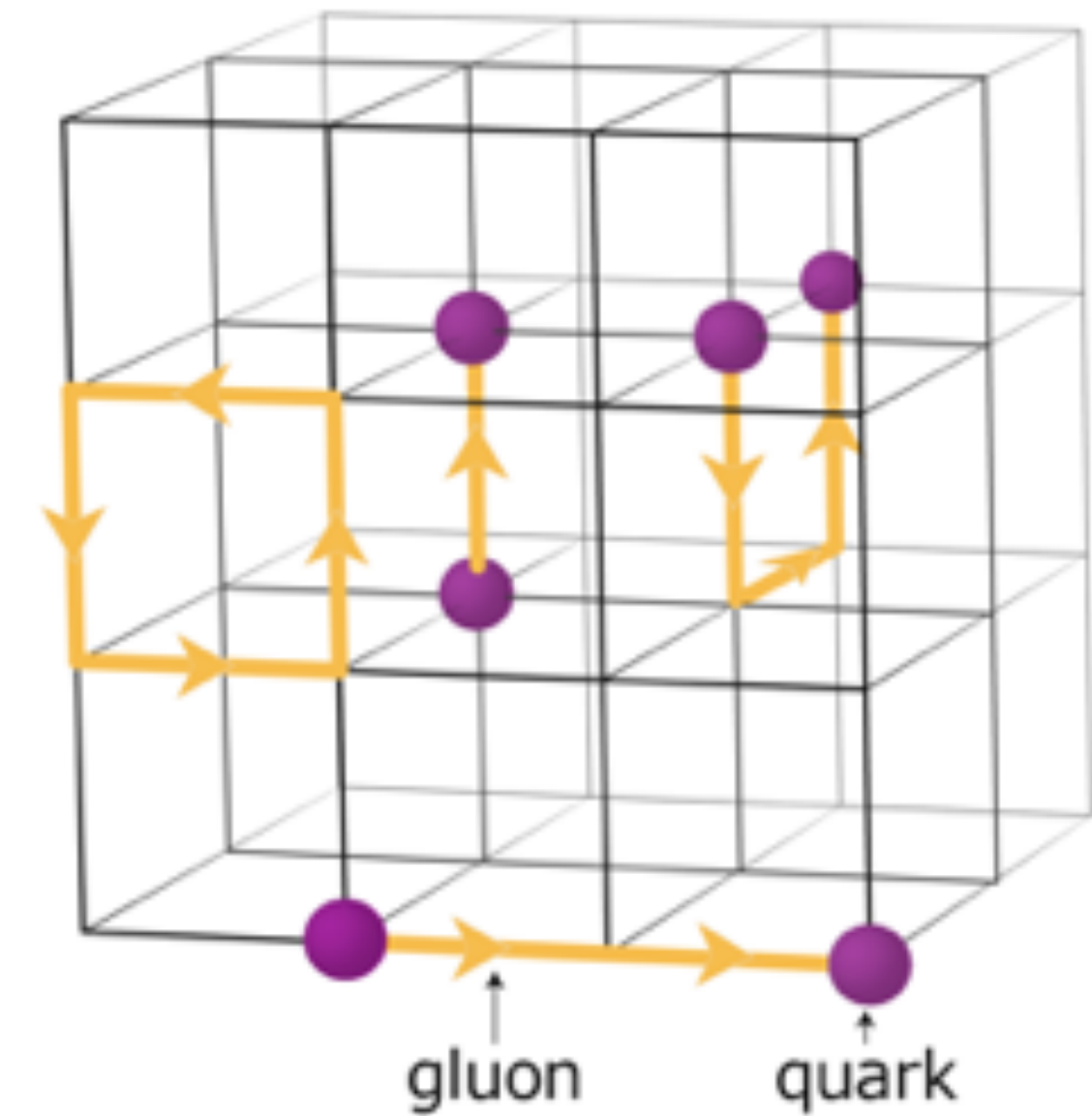


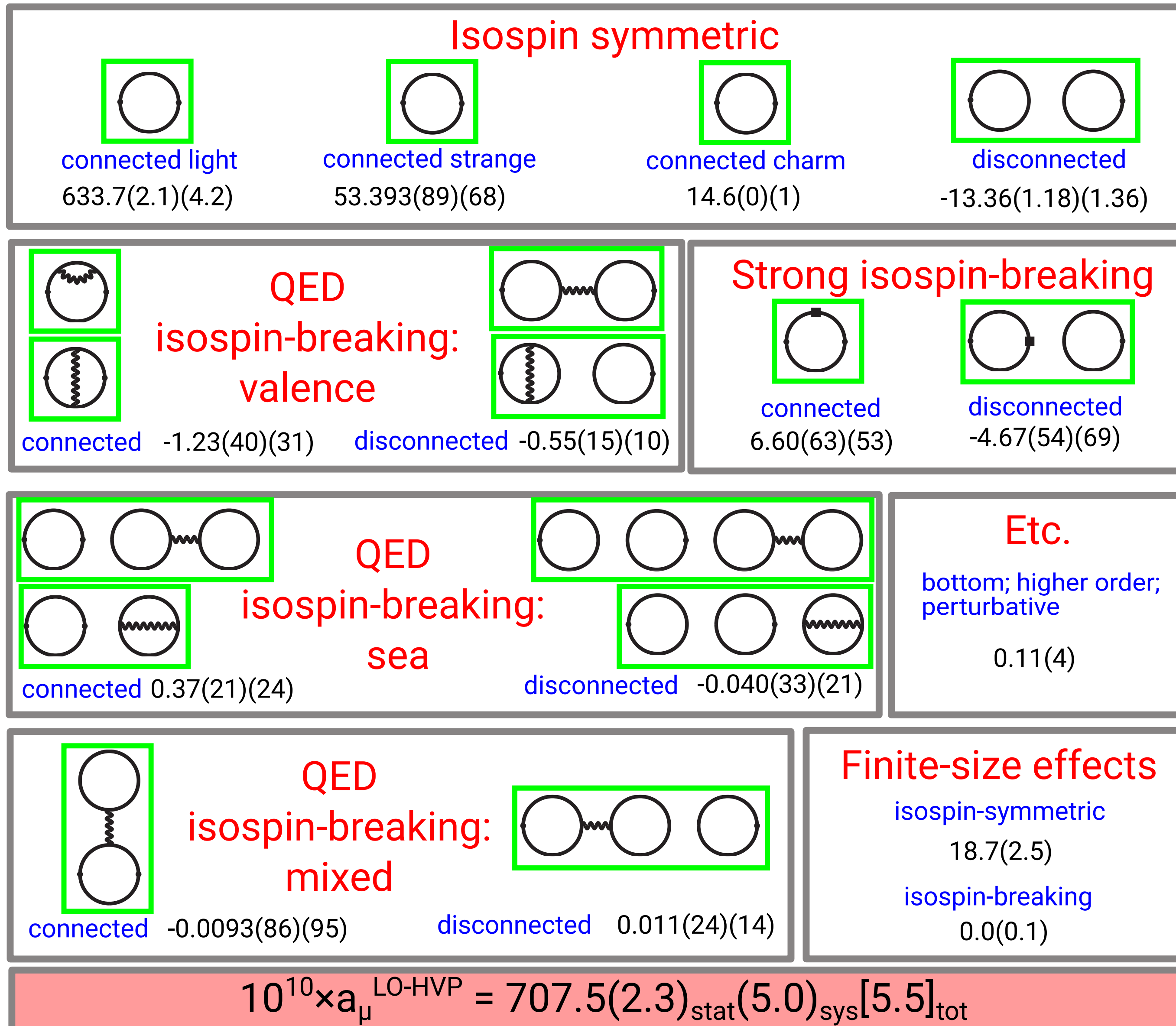
格子QCD計算は難しくない。(g-2 で必要なのは「空間的」に離れた相関)

ただし、精密計算のためには

- 十分小さな格子間隔
- 十分大きな格子体積
- QED 効果, アイソスピンの破れ
- すべてのダイアグラム

が必要。

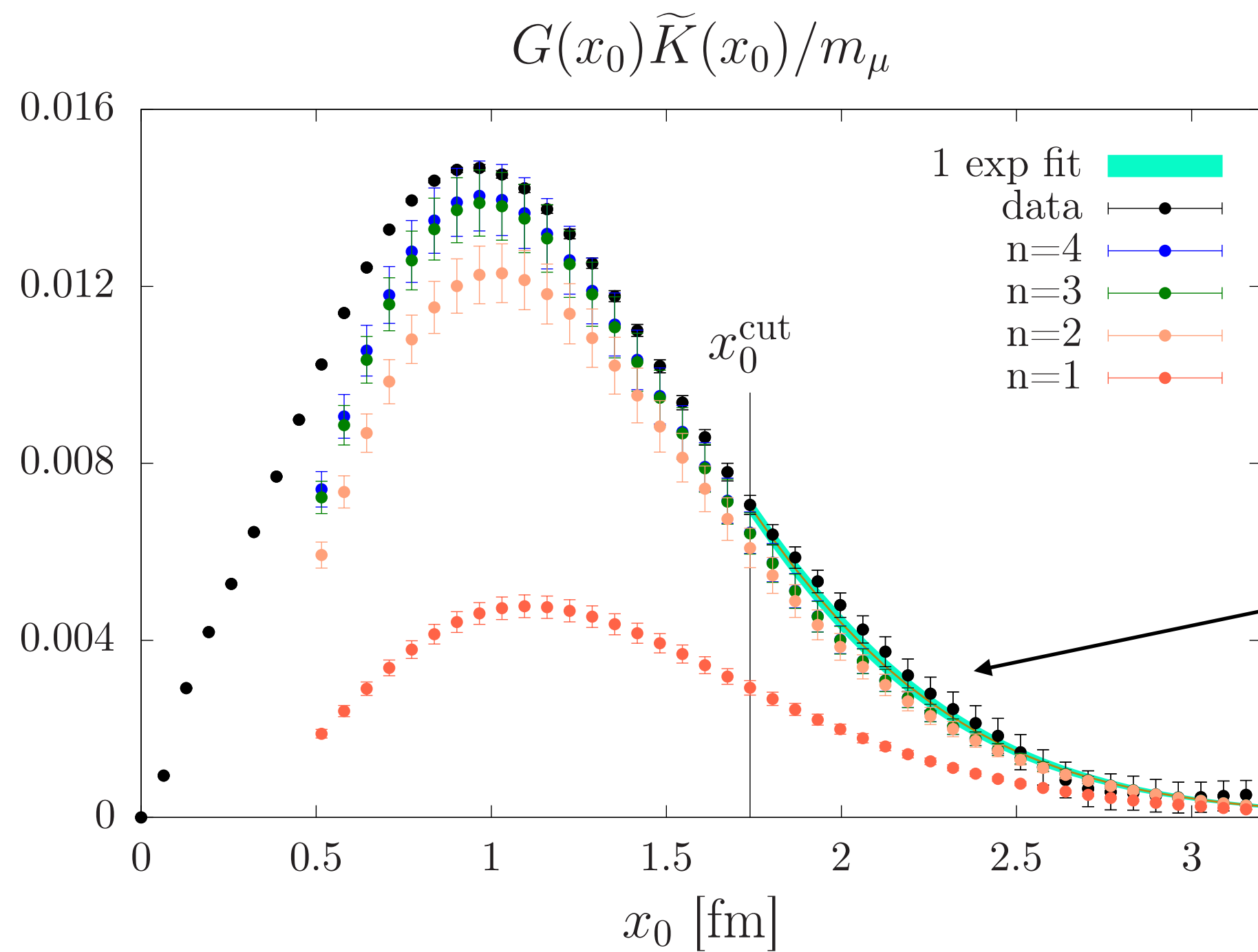




最終的にもっとも誤差に寄与するのは“connected light” および有限体積効果

座標空間表示

$$a_{\mu}^{\text{HVP,LO}} = \left(\frac{\alpha}{\pi}\right)^2 \int_0^{\infty} dx_0 C(x_0) \tilde{K}(x_0)$$



Mainz (2008)
 $m_{\pi} \sim 200$ MeV

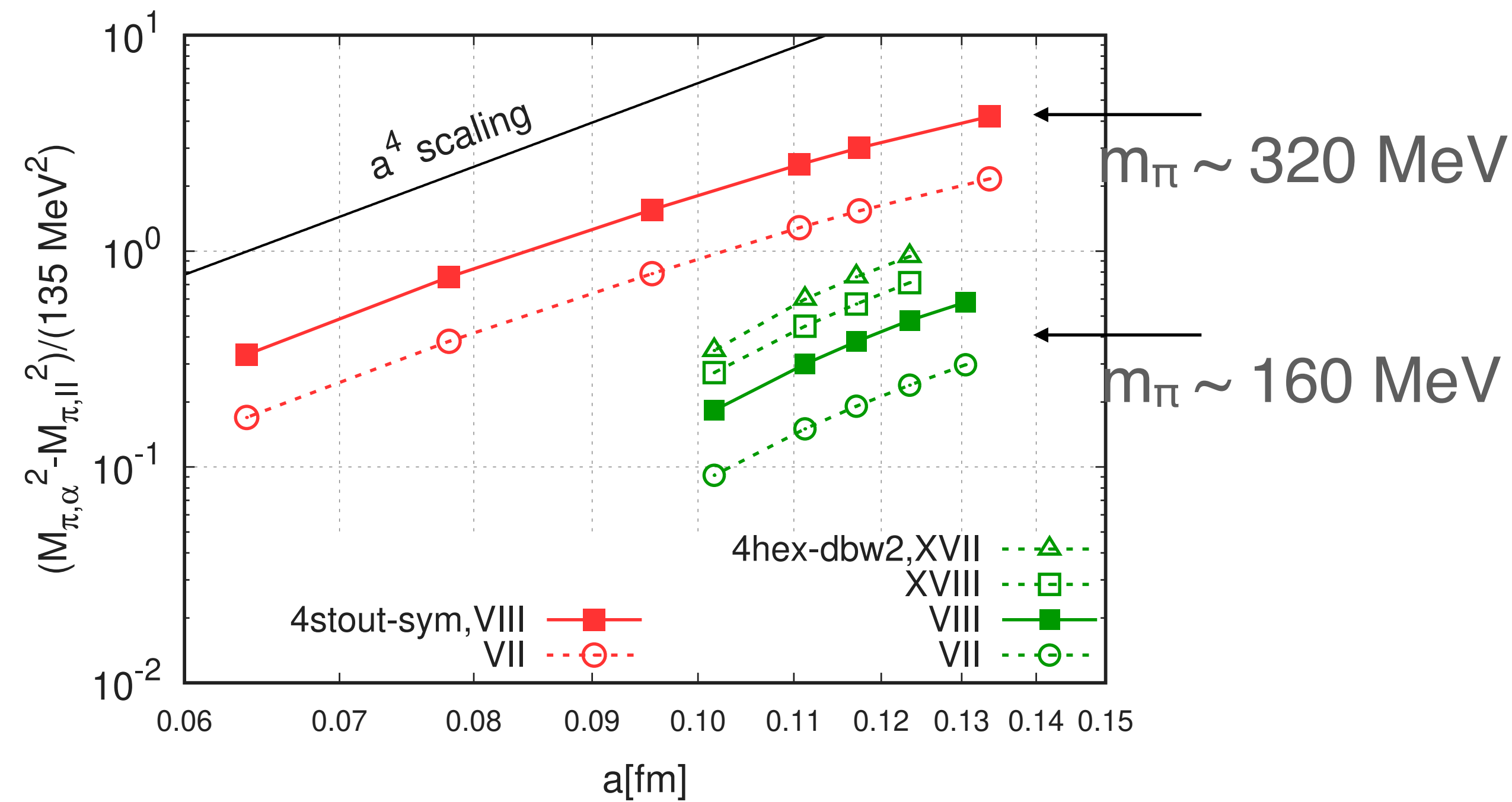
(ある体積で $\pi\pi$ 状態を下から積み上げると)

- 最大の寄与は 1 fm 近辺から。
- 対応する状態は $\pi\pi$

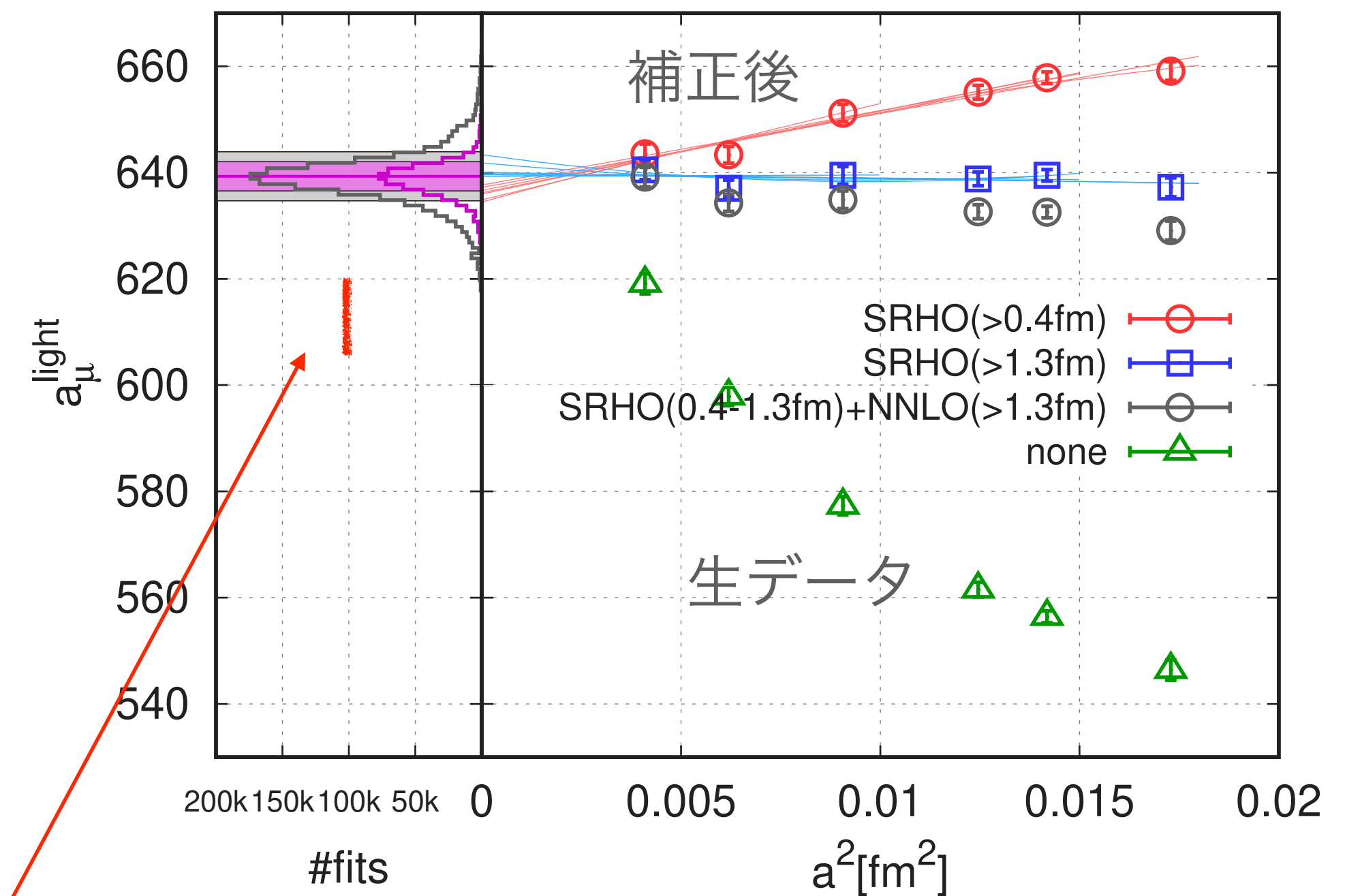
最大の問題は、有限体積効果。
ただし、離散化誤差と絡まる。

交互 (staggered) フェルミオンの問題

- 1つのフレーバーに対して4つの「テイスト」。15個の π 中間子。
- 離散化誤差があると縮退しない。 $m_\pi = 135 \text{ MeV}$ のはずが ...



BMW, 2002.12347



これに応じて有限体積効果の大きさも変わる。模型を使って補正。

従来の方法との食い違いの大きさ

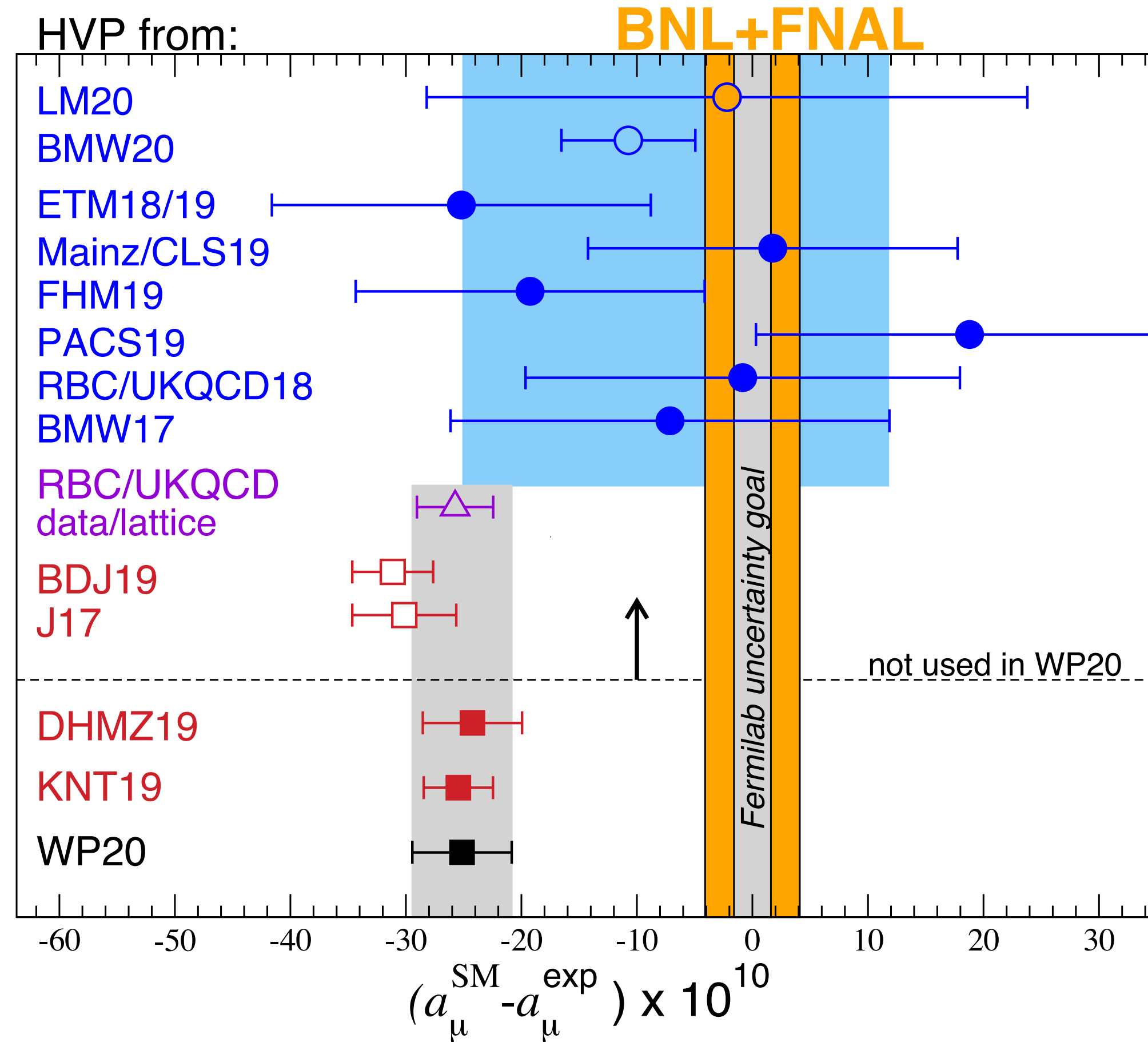
$$a_{\mu}^{\text{SM}} \left\{ a_{\mu}^{\text{HVP}} + [a_{\mu}^{\text{QED}} + a_{\mu}^{\text{Weak}} + a_{\mu}^{\text{HLbL}}] \right\}$$

Lattice QCD + QED

hybrid: combine data & lattice

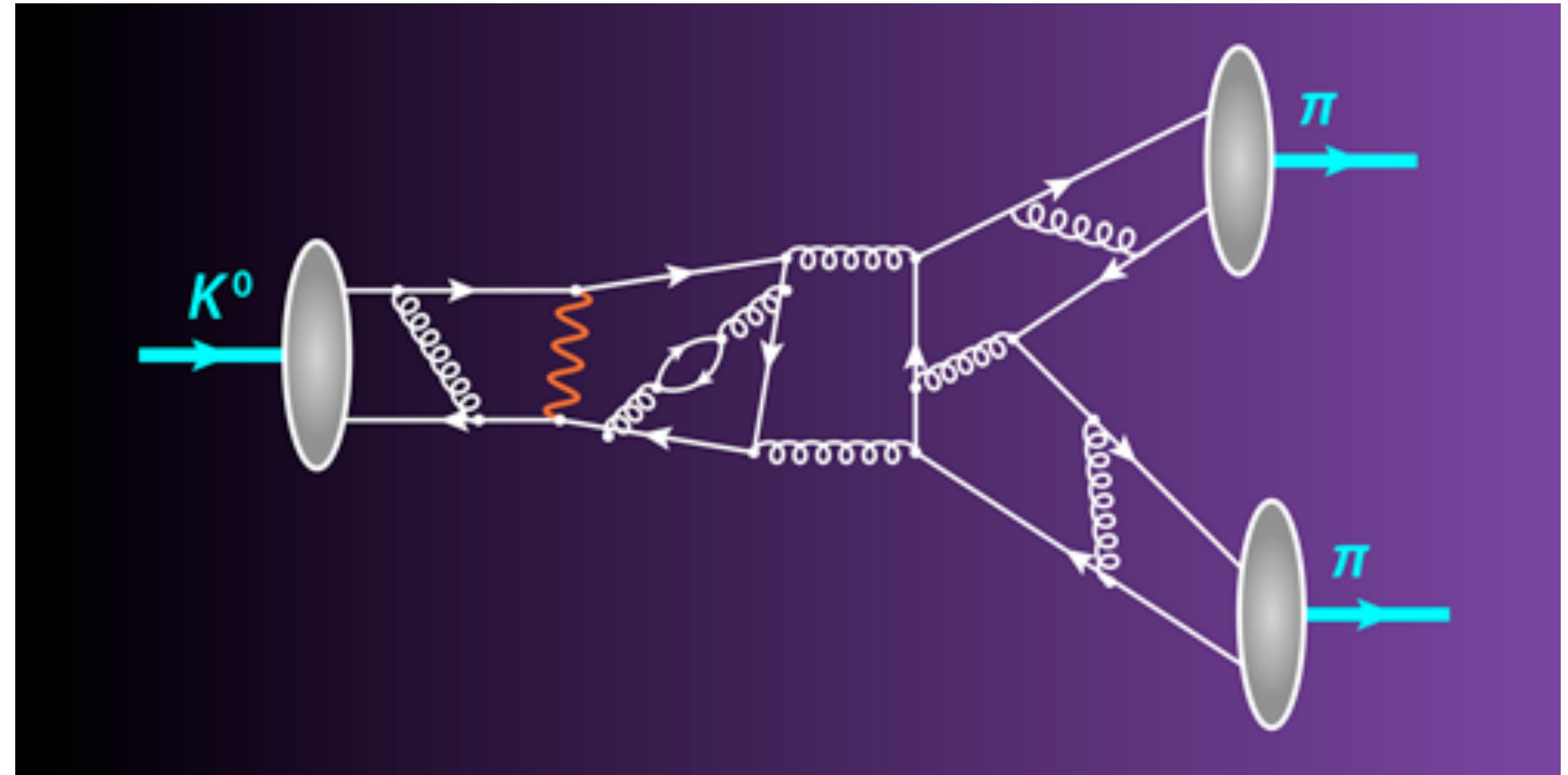
data driven

+ unitarity/analyticity constraints



数年で他グループも追いつく見込み

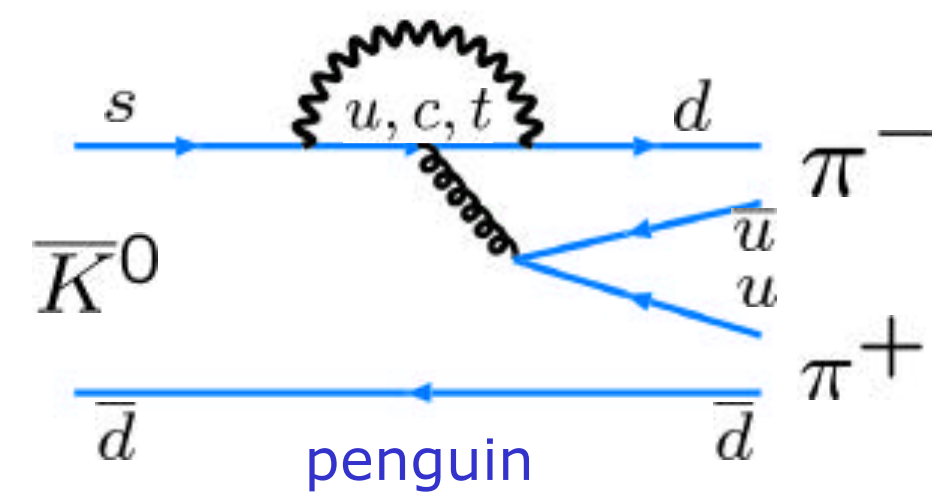
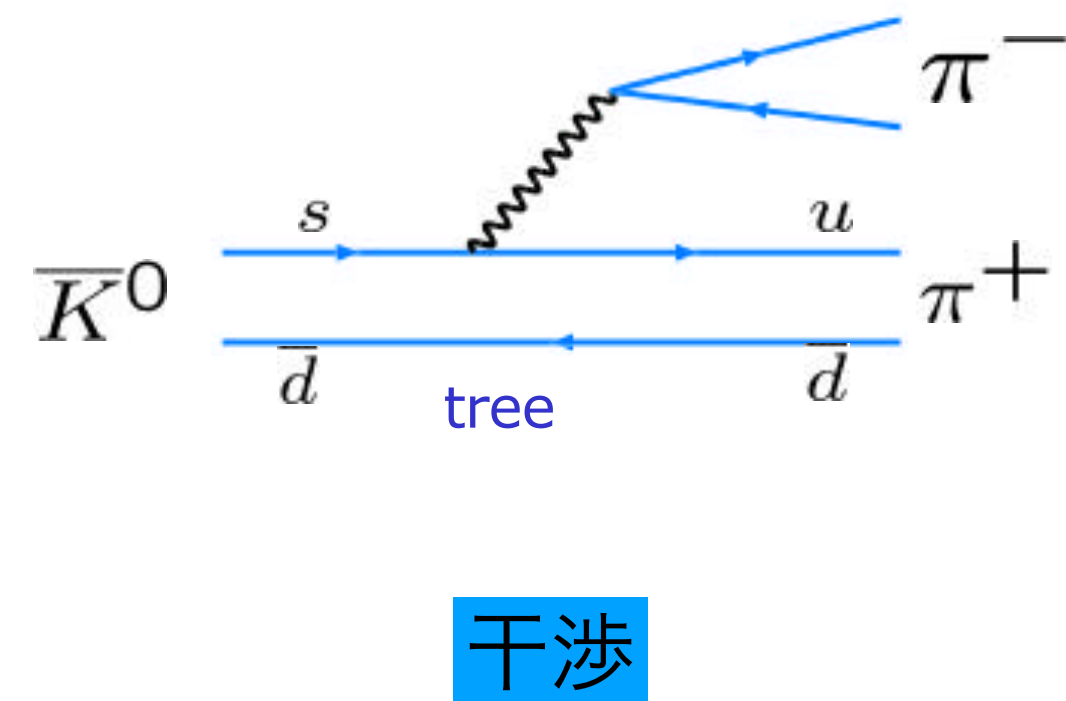
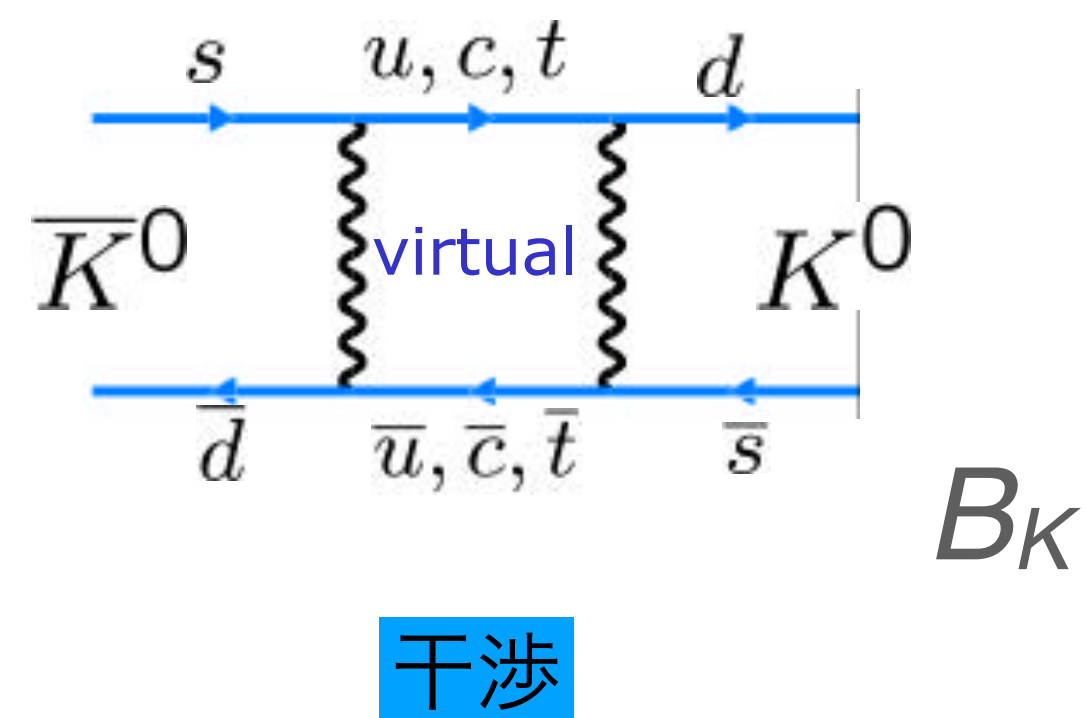
K中間子崩壞 $\varepsilon' / \varepsilon$



K中間子崩壊における CP の破れ

間接的： ε

直接的： ε'/ε



複素位相：

1. 弱い相互作用

- 小林益川行列

2. 強い相互作用

- 散乱位相差

$\pi\pi$ 状態 (CP=+)

- アイソスピン $I=0, 2$ の重ね合わせ

$$A_{K^0 \rightarrow \pi^+\pi^-} = |A_0|e^{i\xi_0}e^{i\delta_0} + \frac{|A_2|}{\sqrt{2}}e^{i\xi_2}e^{i\delta_2},$$

$$A_{\bar{K}^0 \rightarrow \pi^+\pi^-} = -|A_0|e^{-i\xi_0}e^{i\delta_0} - \frac{|A_2|}{\sqrt{2}}e^{-i\xi_2}e^{i\delta_2},$$

- 強い相互作用に起因する位相差 δ_0, δ_2
- 再散乱の効果も含む。

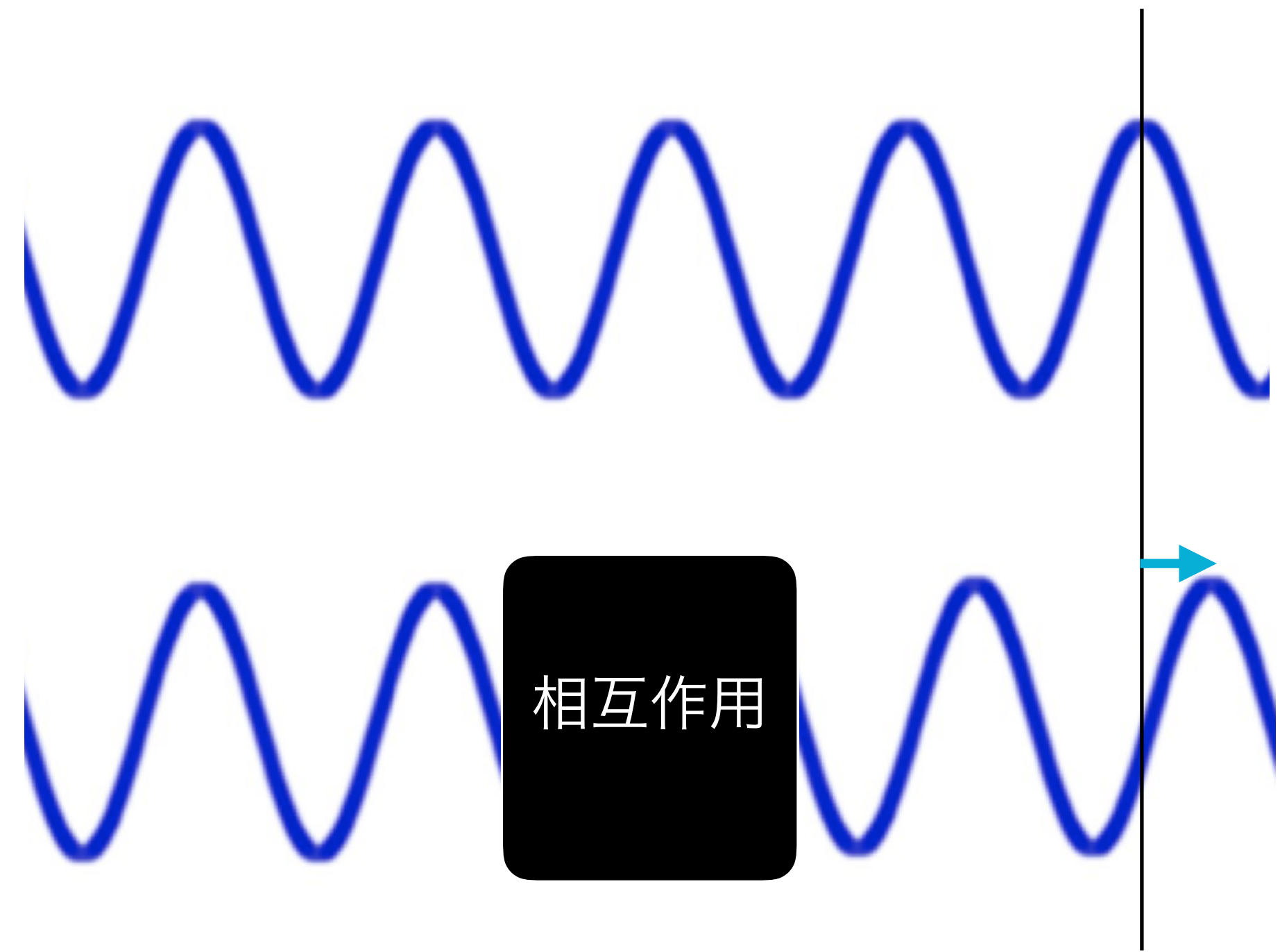
格子計算への要求

- $I=0, 2$ の状態両方について、tree, penguin など、 H_W のすべての項の寄与を含むこと。
- 散乱位相差 δ_0, δ_2 を計算できること。

結果的に、 $\Delta I = 1/2$ 則 ($|A_0/A_2| \gg 1$) も再現できるはず。

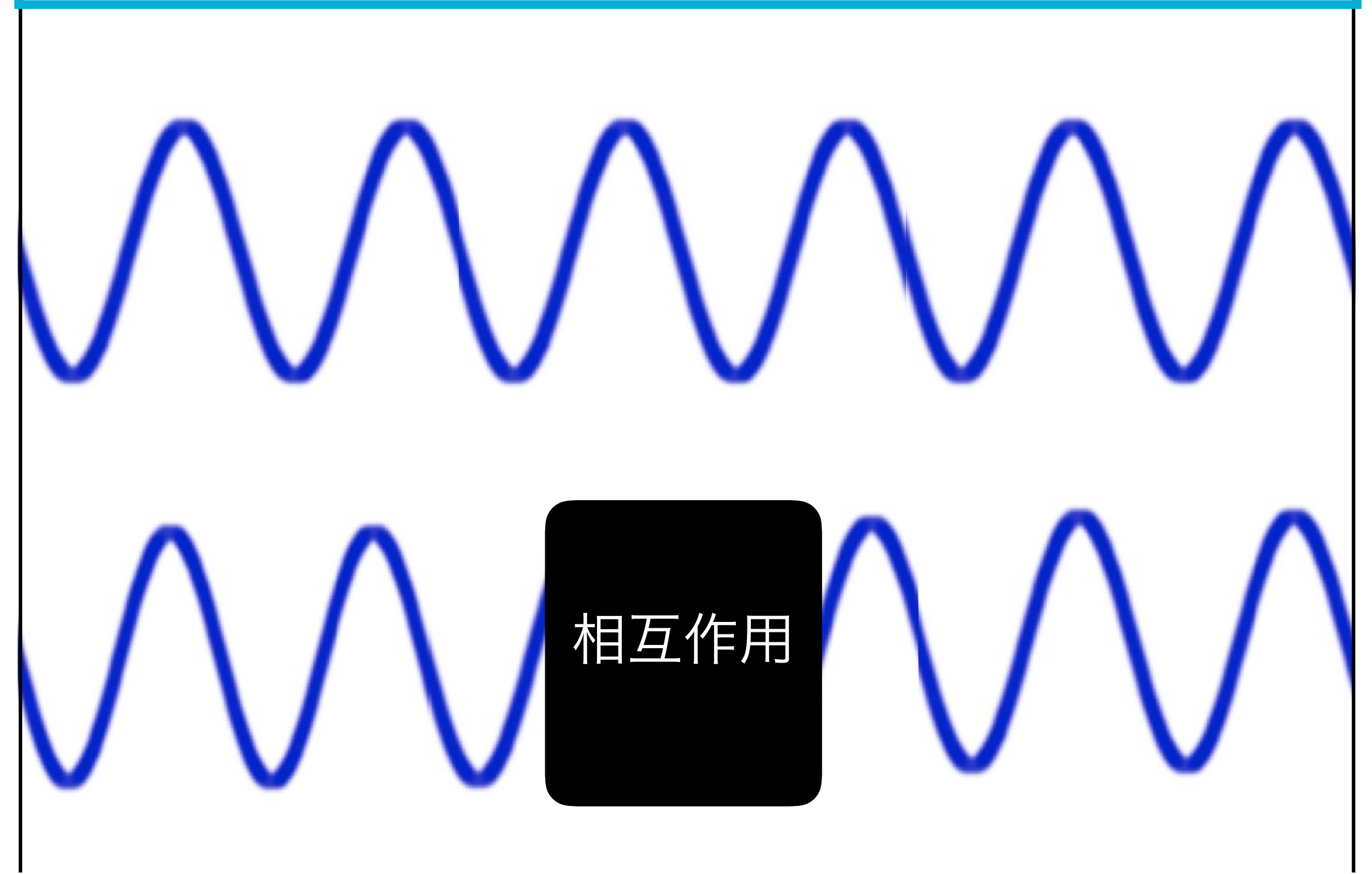
散乱位相差の格子計算？

- そもそも有限体積格子では漸近状態を作れないが ...



Lüscher の方法

位相のずれ：周期的境界条件を満たすには、波長がずれる必要がある。エネルギーの変化から位相差を読み取る。

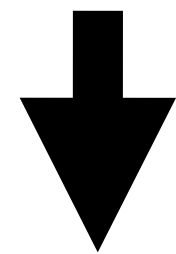


$$E_{\pi\pi} \gtrless E_{\pi} + E_{\pi} \quad ?$$

立入禁止定理 (Maiani-Testa)

虚時間の格子計算

$$C(t_f, t_i) = \langle \mathcal{O}_{\pi\pi}(t_f) H_W(0) \mathcal{O}_K(t_i) \rangle$$



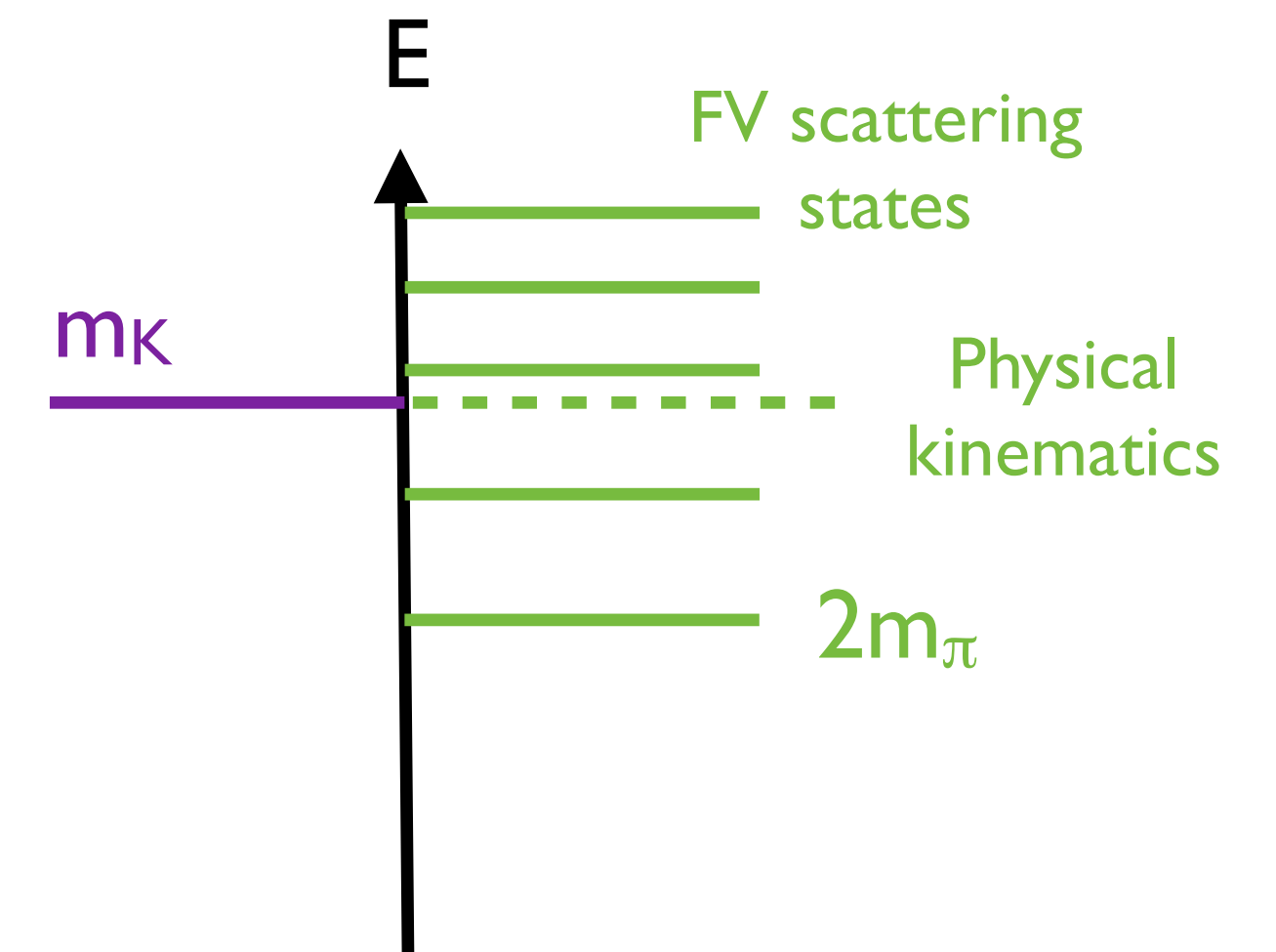
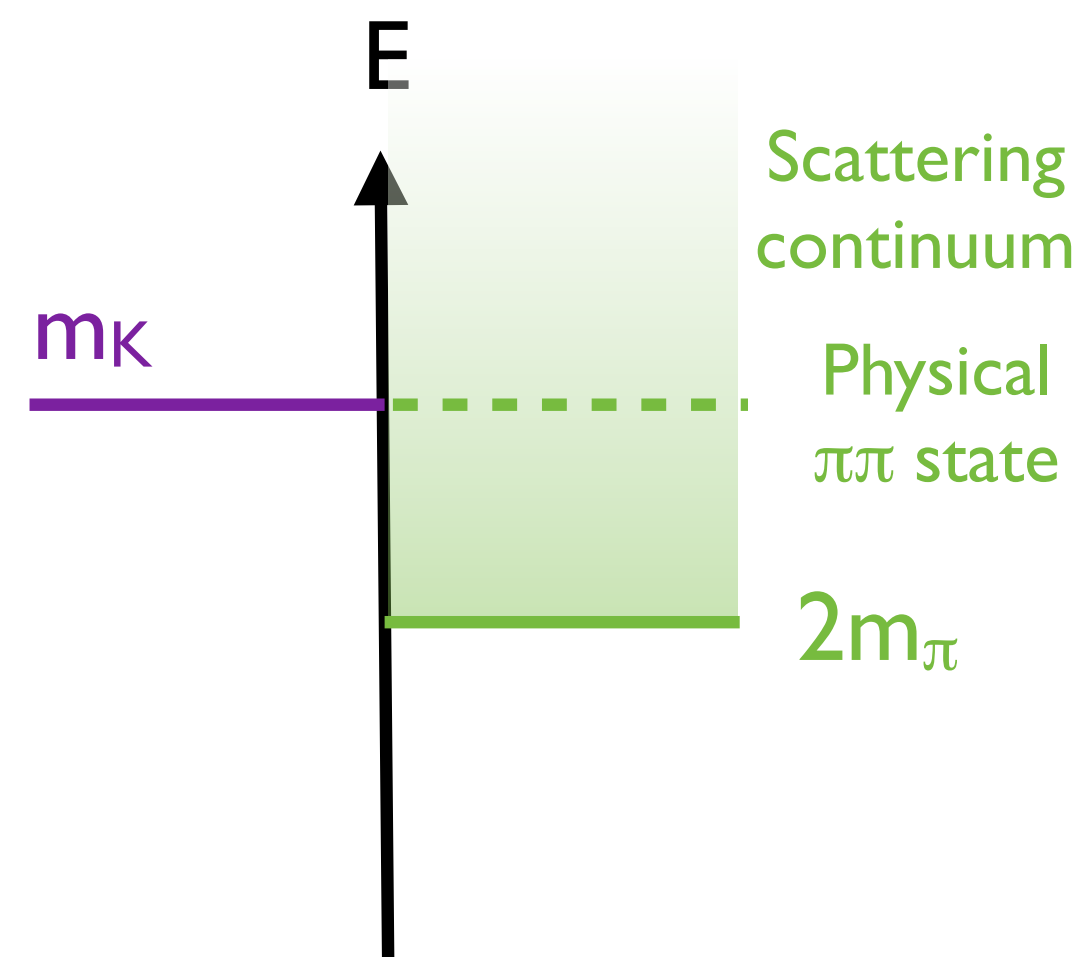
$$\langle \pi(\mathbf{p})\pi(-\mathbf{p}) | H_W | K(\mathbf{0}) \rangle$$

とはならない。他に運動量の小さい
(したがってエネルギーの小さい)
状態が多数あるから。

$$\langle \pi(\mathbf{0})\pi(-\mathbf{0}) | H_W | K(\mathbf{0}) \rangle$$

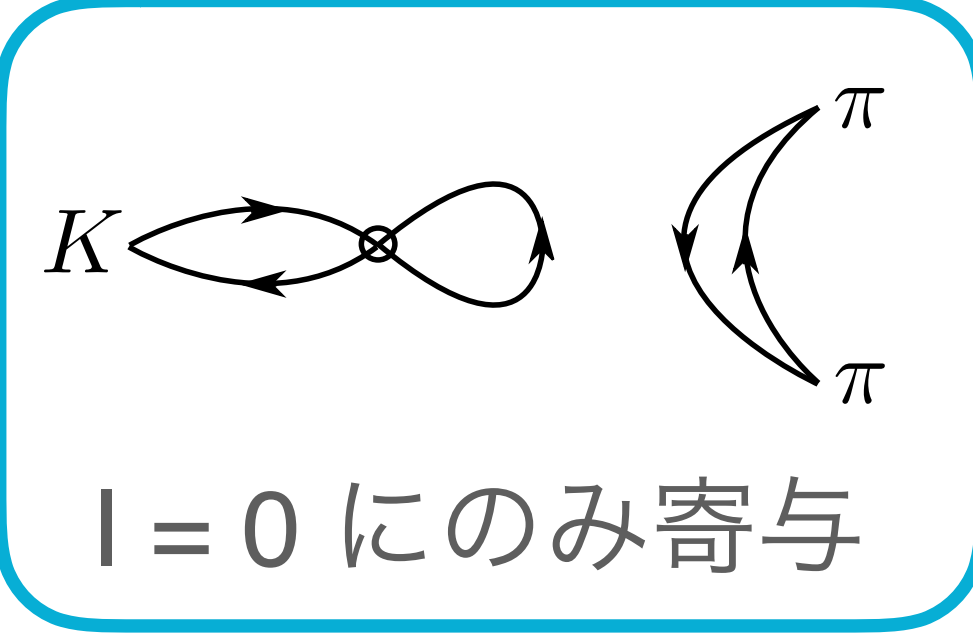
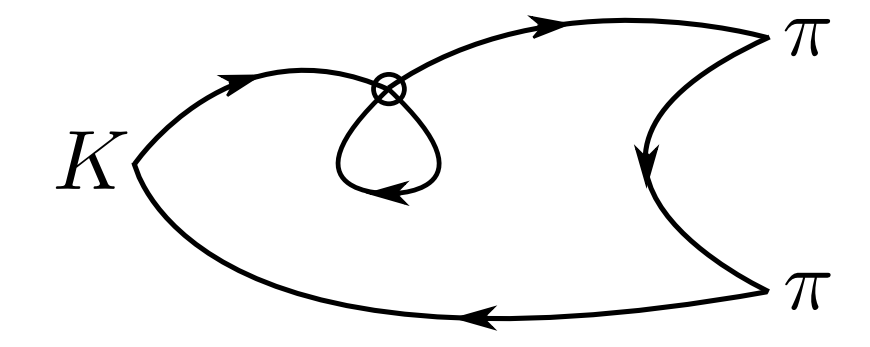
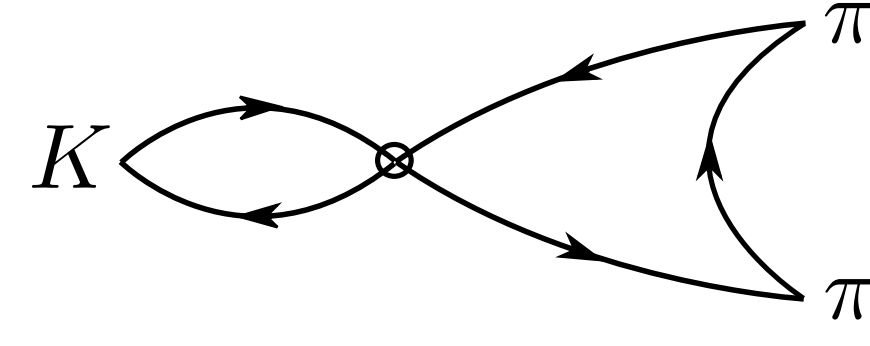
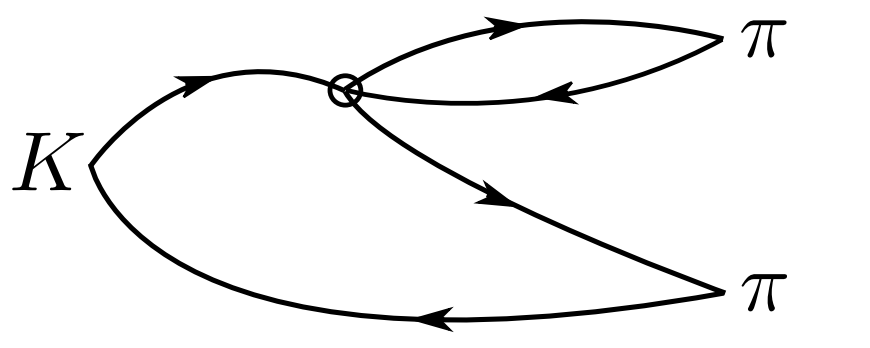
有限体積で、始状態のエネルギー m_K に
合わせるには、

- 体積を調節する。
- 境界条件を工夫して、運動量の小さい状態が出ないようにする。



RBC-UKQCD collab. (2004.09440)

- u, d, s クォークを含む
- 一辺 4.6 fm の格子
- Gパリティ境界条件 ($m_K = E_{\pi\pi}$)



Kelley @ Lattice 2021

LL finite-volume correction

$$A^I = F \frac{G_F}{\sqrt{2}} V_{ud}^* V_{us} \sum_{i=1}^{10} \sum_{j=1}^7 \left[(z_i(\mu) + \tau y_i(\mu)) Z_{ij}^{\text{lat} \rightarrow \overline{\text{MS}}} M_j^{I, \text{lat}} \right]$$

renormalization matrix (mixing)
Use RI-SMOM
convert to MSbar
perturbatively

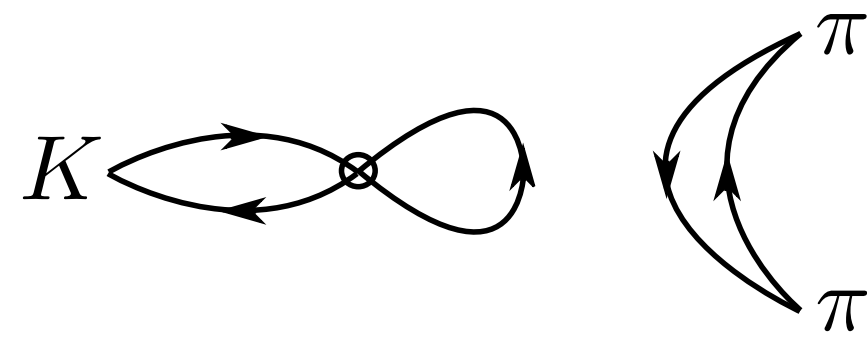
perturbative Wilson coeffs.

$$M_j^{I, \text{lat}} = \langle (\pi\pi)_I | Q_j | K \rangle \text{ (lattice)}$$

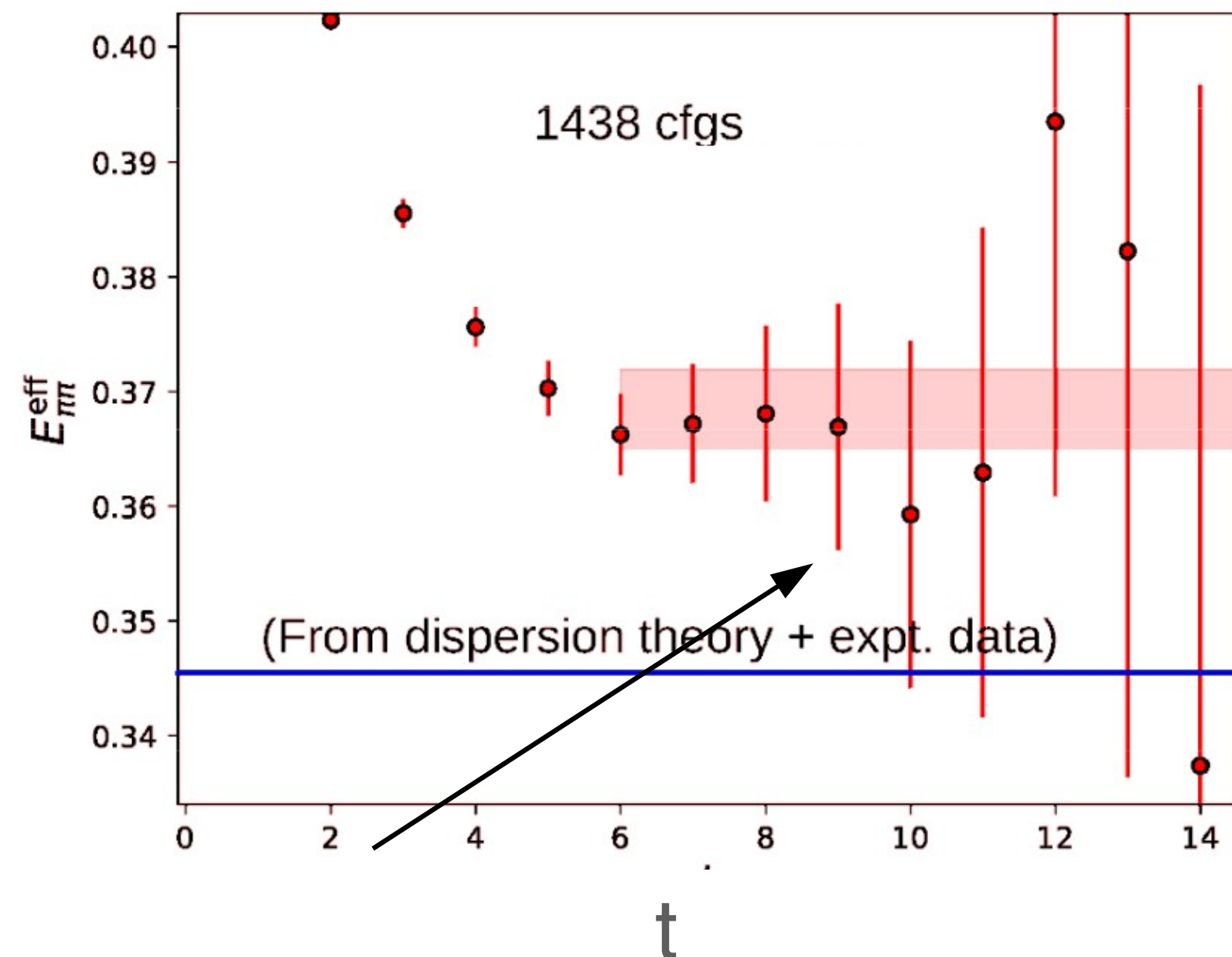
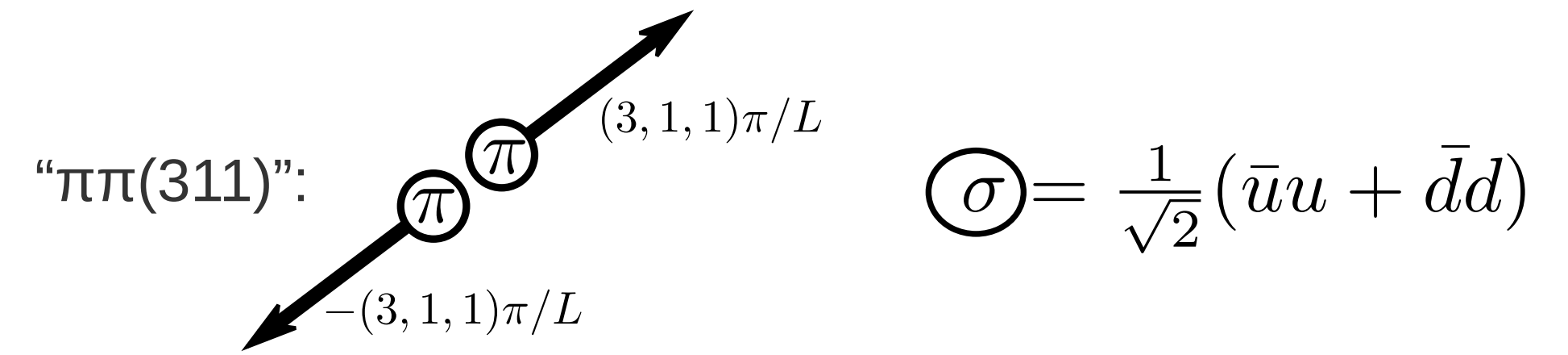
10 effective four-quark operators

$$\tau = -\frac{V_{ts}^* V_{td}}{V_{us}^* V_{ud}} = 0.0014606 + 0.00060408i$$

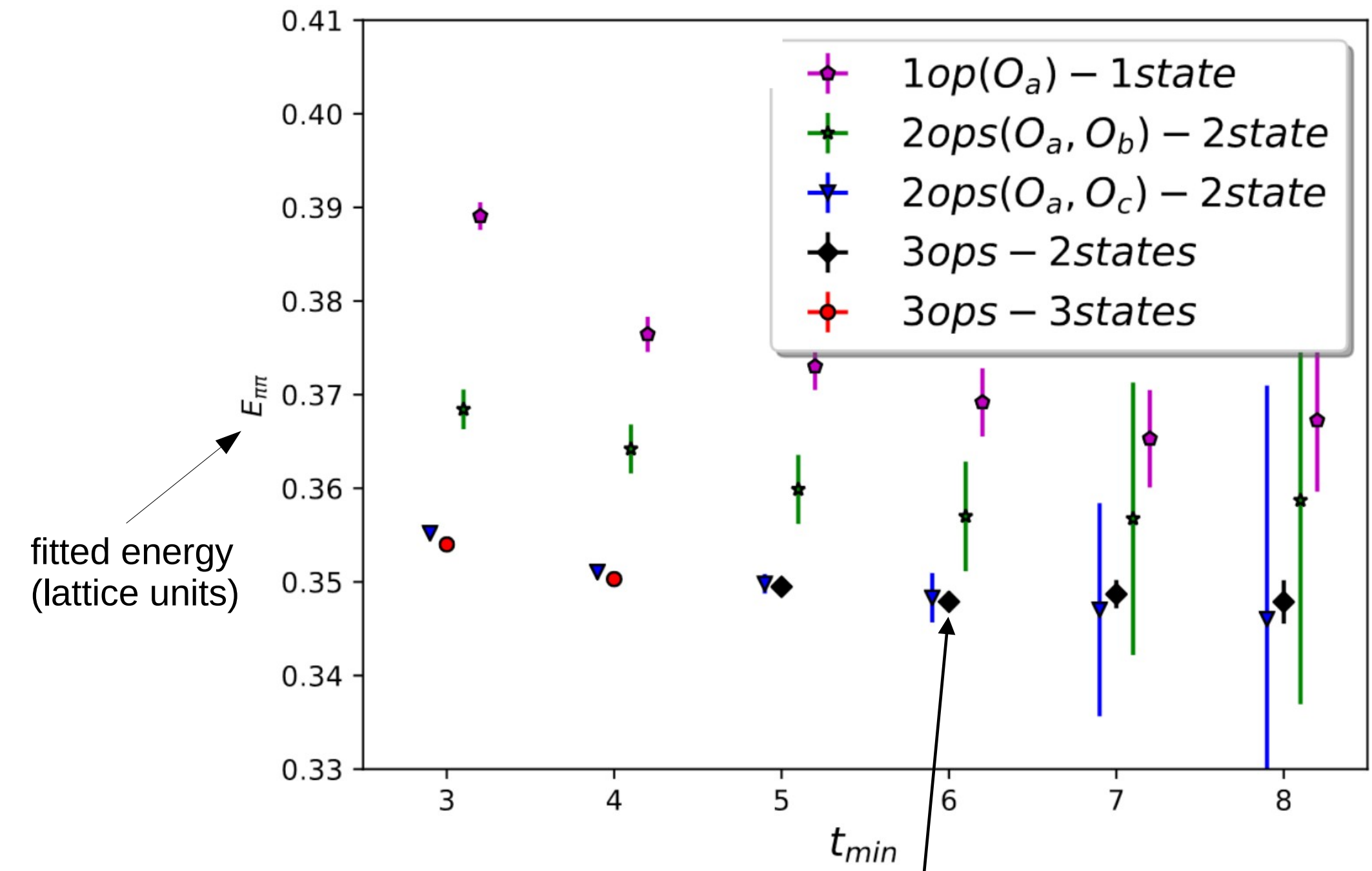
$I = 0$ の問題：統計誤差が大きい



演算子を追加して状態の同定を改善 (2021)

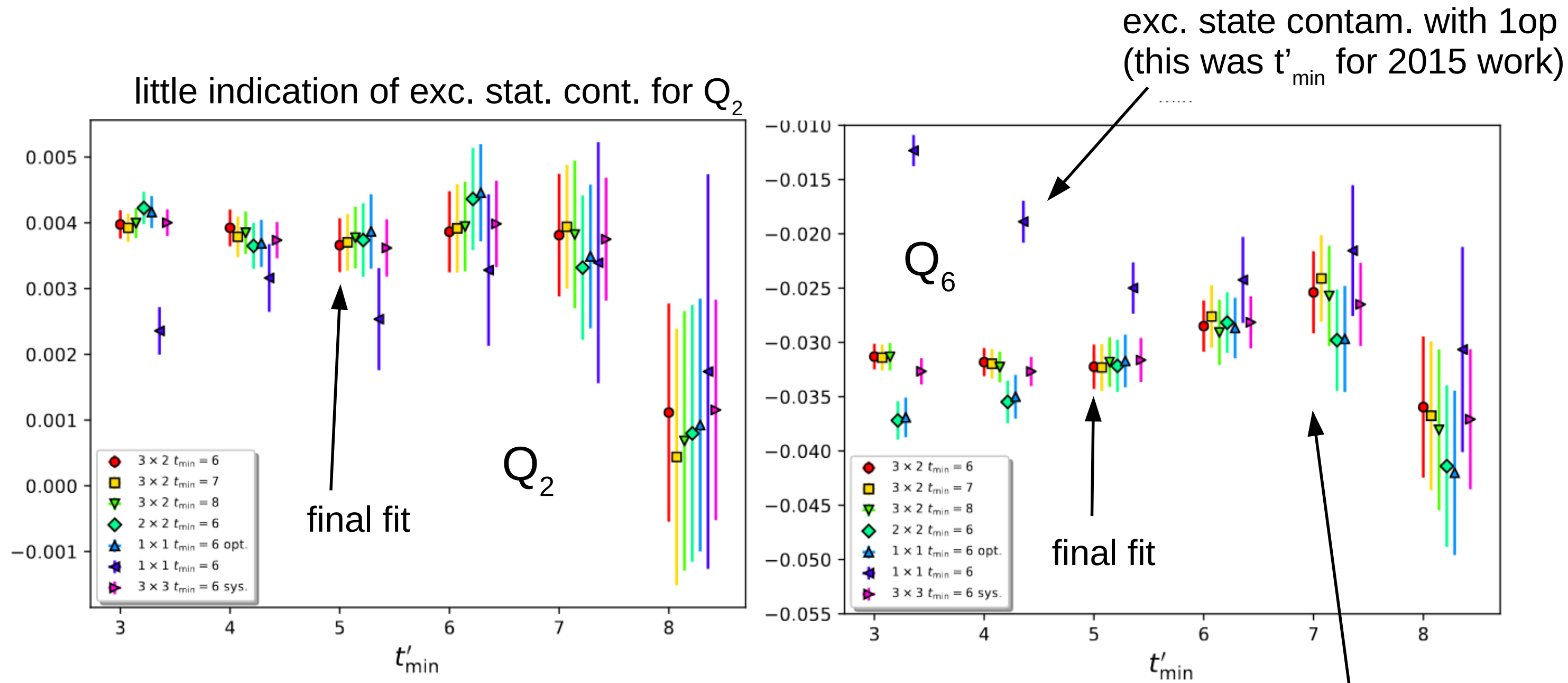


散乱位相差の実験値と合わない (2015)



大幅に改善 (2021)

行列要素 $\langle \pi(\mathbf{p})\pi(-\mathbf{p})|H_W|K(\mathbf{0})\rangle$



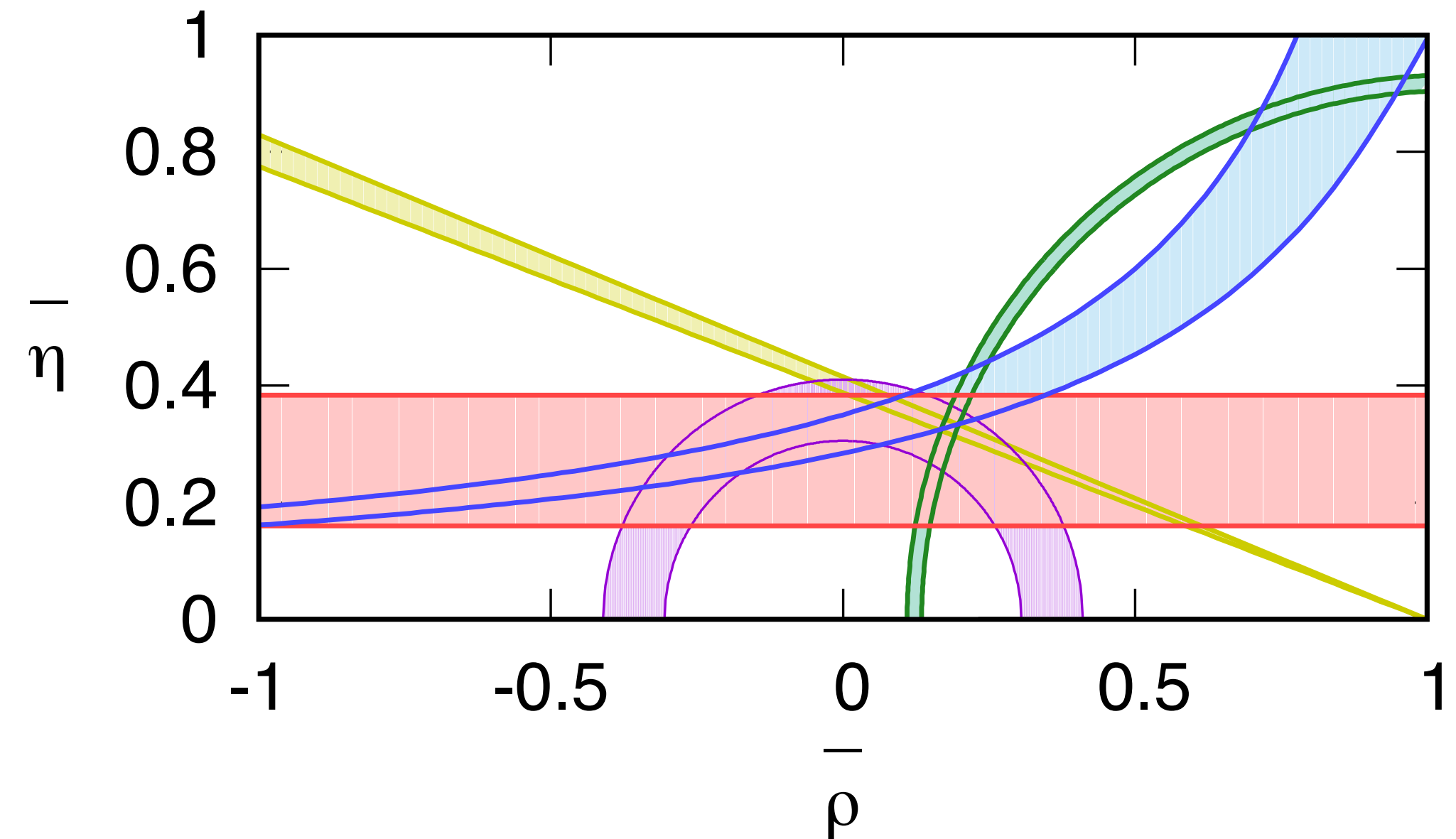
$$\text{Re}\left(\frac{\epsilon'}{\epsilon}\right) = \text{Re}\left\{\frac{i\omega e^{i(\delta_2 - \delta_0)}}{\sqrt{2}\epsilon} \left[\frac{\text{Im}A_2}{\text{Re}A_2} - \frac{\text{Im}A_0}{\text{Re}A_0}\right]\right\}$$

$$= 0.00217(26)(62)(50)$$

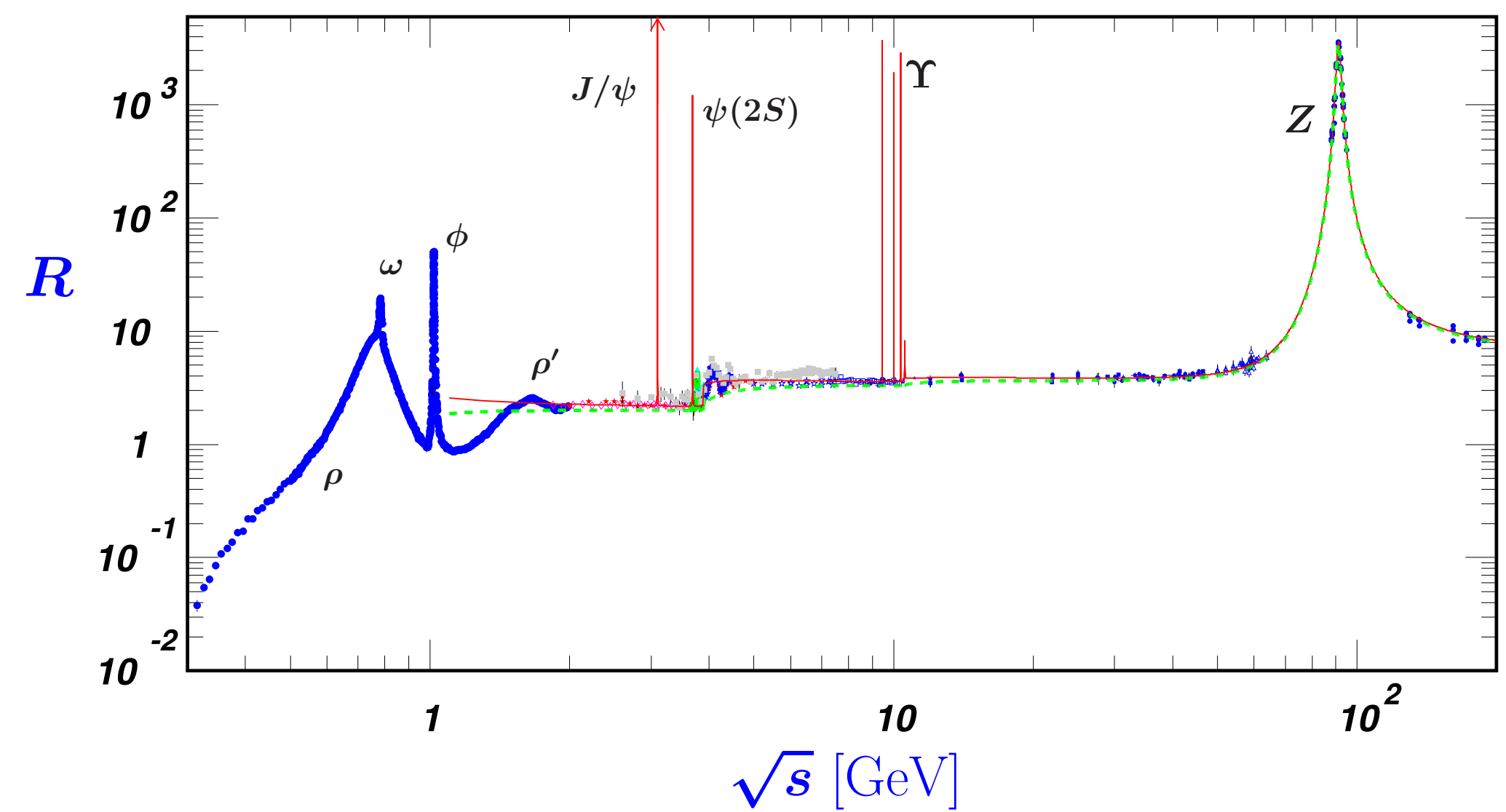
stat
sys
IB + EM

Consistent with experimental result:

$$\text{Re}(\epsilon'/\epsilon)_{\text{expt}} = 0.00166(23)$$



符号問題 or スペクトル関数

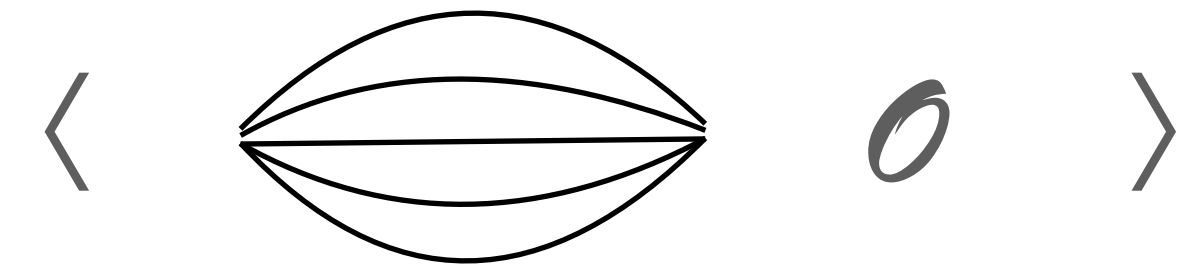


有限密度QCDは難しい。なぜなら符号問題が ...

$$Z = \int [dA_\mu] e^{-S_g - \int \bar{\psi} D(A) \psi}$$
$$= \int [dA_\mu] \det D(A) e^{-S_g}$$

- $\det D(A)$ が負、もしくは複素数になることがあると、確率分布とみなせなくなり、モンテカルロ法が破綻する。有限化学ポテンシャルがあるとそうなる。
- 実時間のシミュレーションも同様の問題（より一般にはスペクトル関数の再構成の問題）。

別の見方：粒子数一定

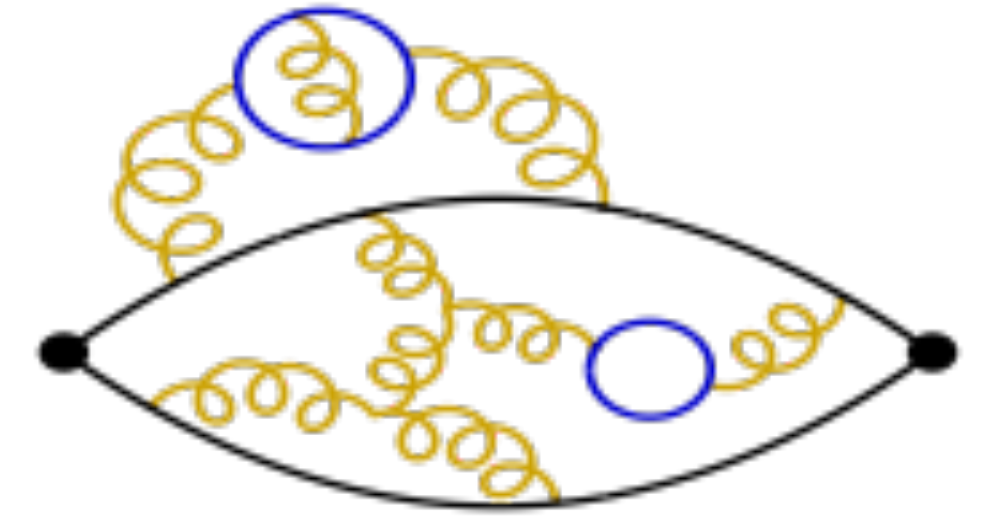


- N 個のクォーク伝搬関数との相関を見よ。これができるなら解決。ところが、
$$S_q \sim e^{-(m_\pi/2)|x|}$$
$$S_N \sim e^{-m_N|x|} \ll S_q^3$$
- 非常に強い相殺が起こるので、ノイズに埋もれてしまう。

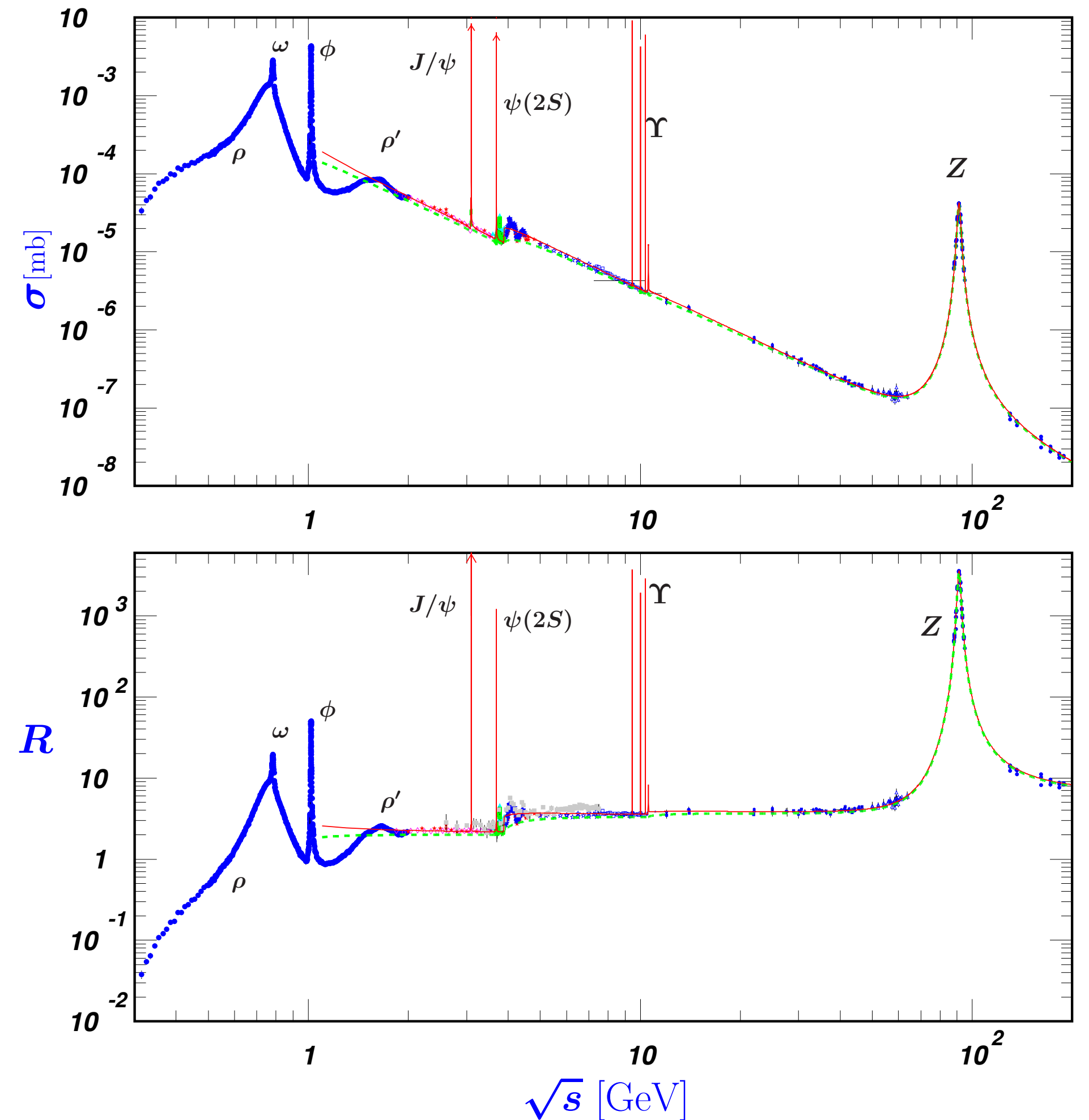
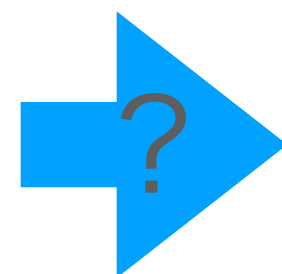
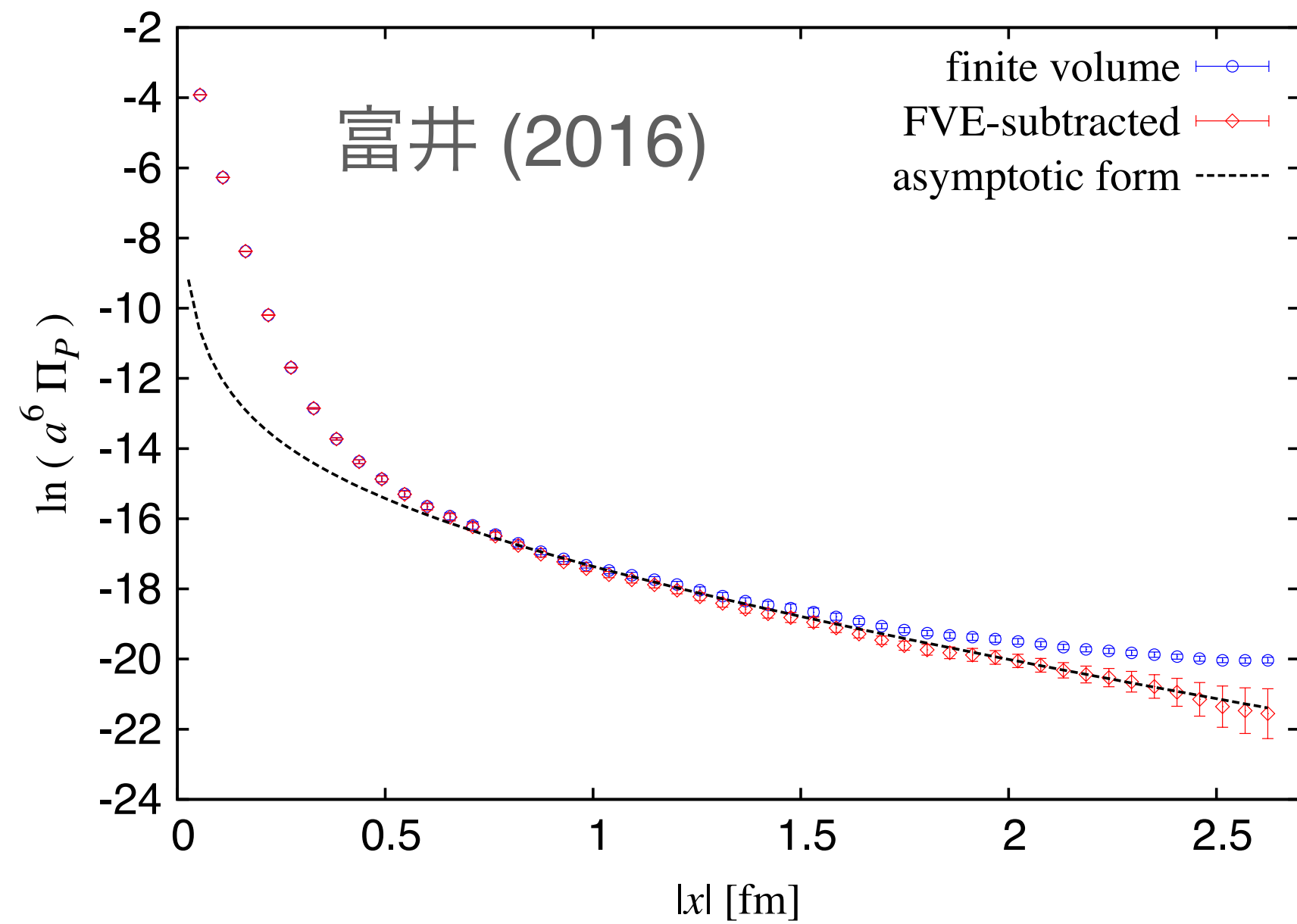
問題はノイズ

スペクトル関数の再構成

格子上的の相関関数からスペクトルを読み取りたい。



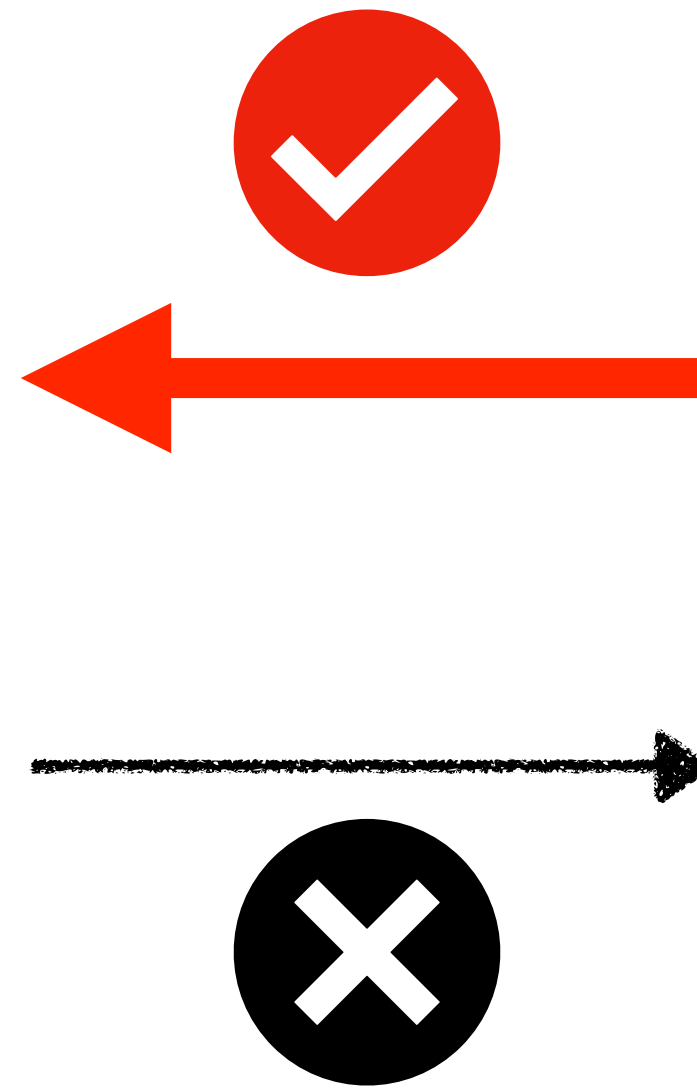
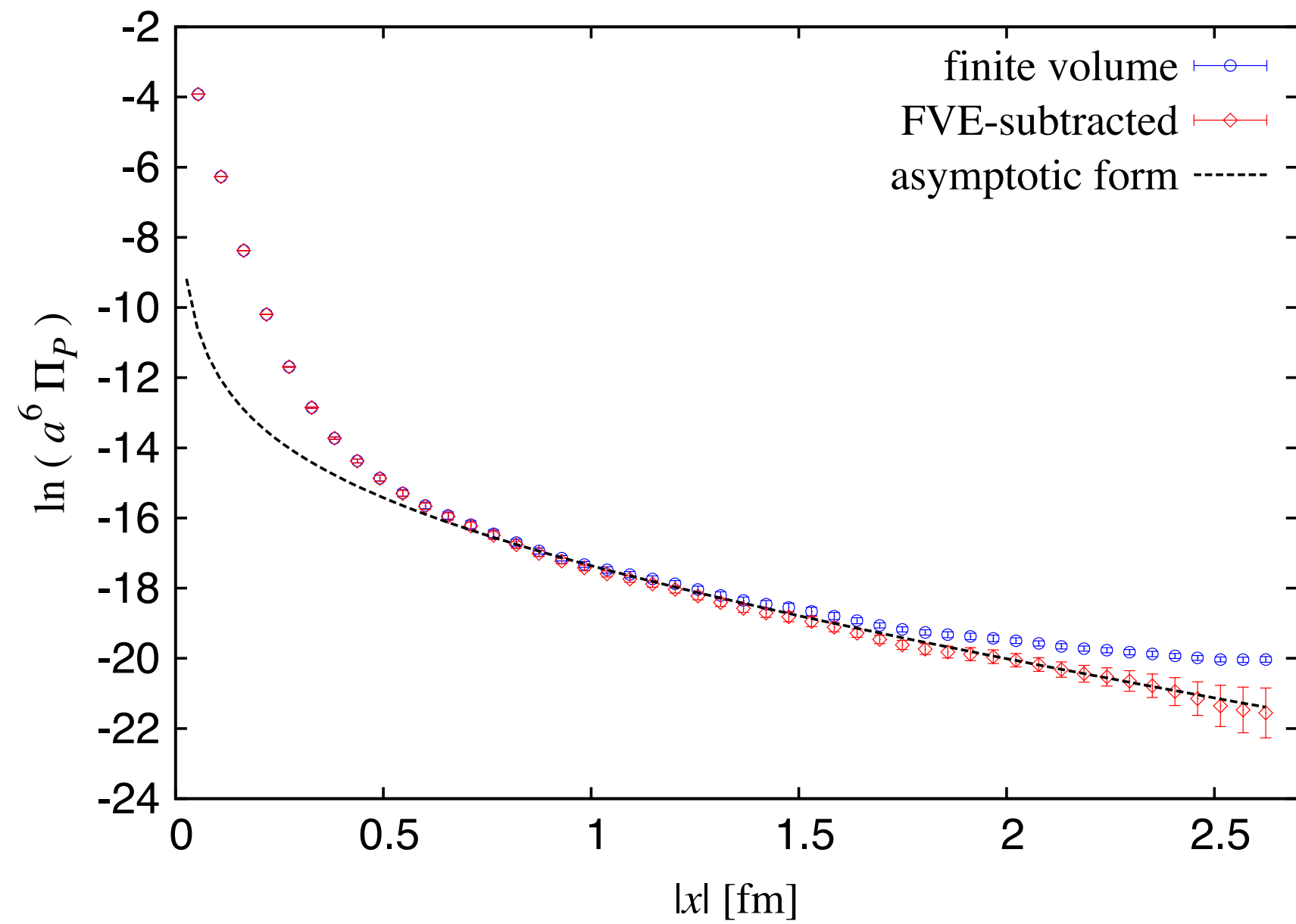
$$\Pi_{\mu\nu}(x) = \langle 0 | T \{ J_\mu(x) J_\nu(0) \} | 0 \rangle$$



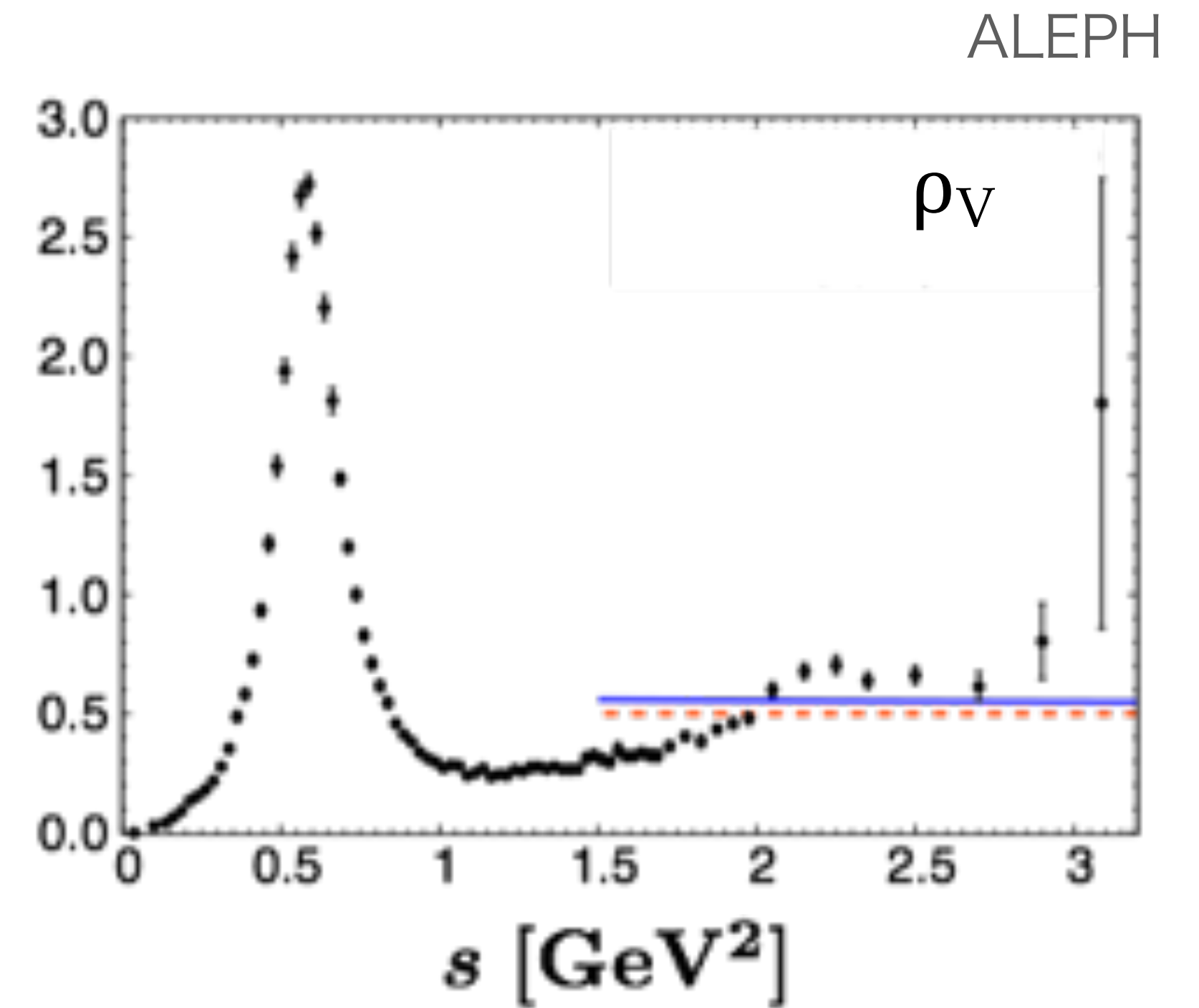
格子データ

$$C(t) = \int_0^\infty d\omega \rho(\omega) e^{-\omega t}$$

実験データ



不良設定問題



- × もっとよい統計精度があれば、あるいは...
- 無限により精度が必要 (10^{-30} とか)

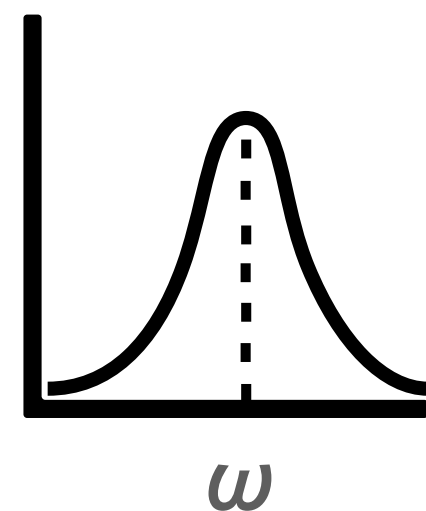
「現実的に可能なこと」

Bailas, SH, Ishikawa, PTEP 2020, 4, 043B07 (2000); arXiv:2001.11779

相関関数: $C(t) = \int_0^\infty d\omega \rho(\omega) e^{-\omega t} \sim \langle 0 | J e^{-\hat{H}t} J | 0 \rangle$

スペクトル関数: $\rho(\omega) \propto \sum_X \delta(\omega - E_X) |\langle X | J | 0 \rangle|^2 \sim \langle 0 | J \delta(\omega - \hat{H}) J | 0 \rangle$

ぼかし: $\bar{\rho}_\Delta(\omega) = \int_0^\infty d\omega' S_\Delta(\omega, \omega') \rho(\omega) \sim \langle 0 | J S_\Delta(\omega, \hat{H}) J | 0 \rangle$



近似: $S_\Delta(\omega, \hat{H})$ by $e^{-\hat{H}t}$?

チェビシエフ多項式近似：
$$S_{\Delta}(\omega, \hat{H}) \simeq \sum_{j=0}^N c_j(\omega) T_j(e^{-\hat{H}})$$

(shifted) Chebyshev polynomials

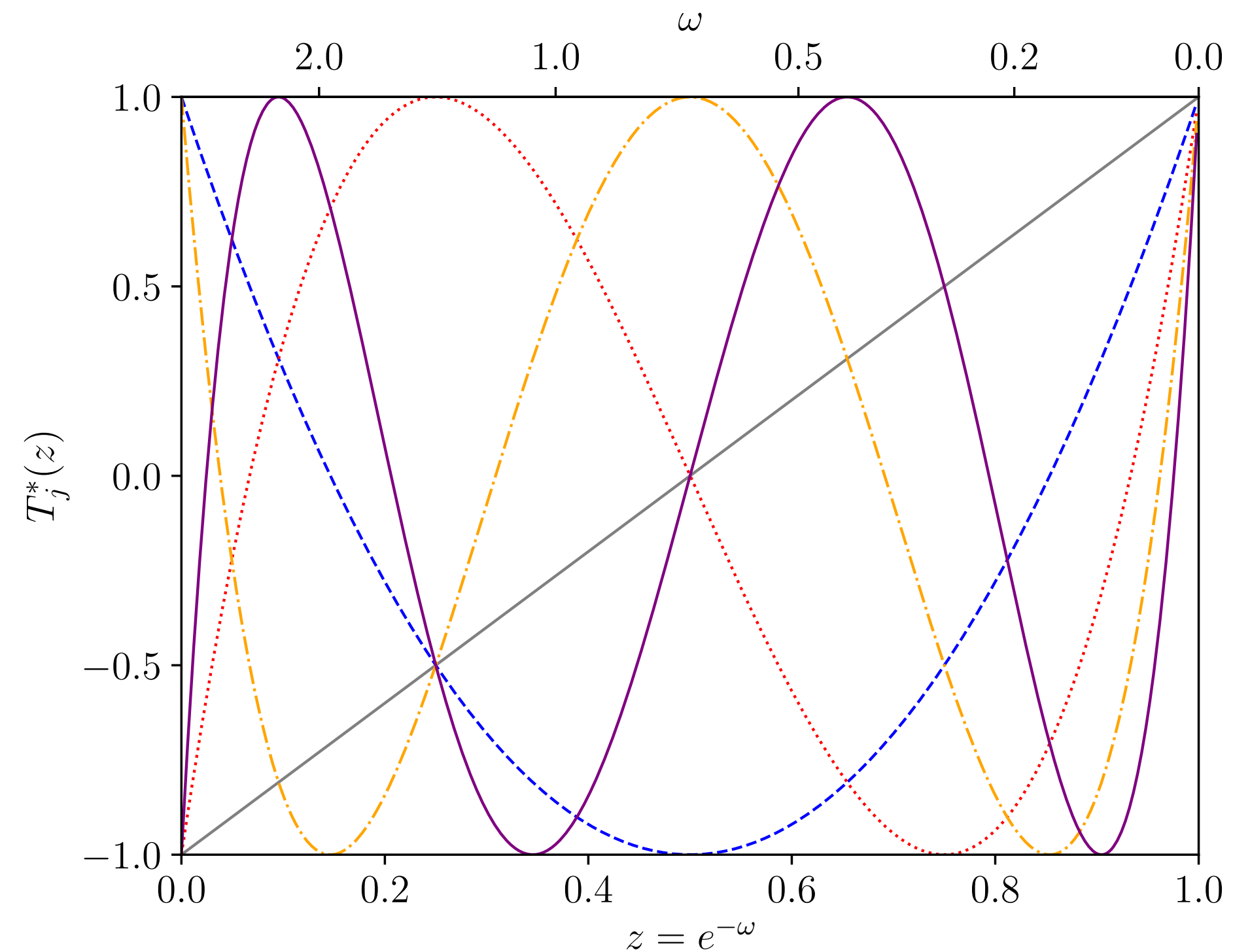
$$T_0^*(x) = 1$$

$$T_1^*(x) = 2x - 1$$

$$T_2^*(x) = 8x^2 - 8x + 1$$

⋮

$$T_{j+1}^*(x) = 2(2x - 1)T_j^*(x) - T_{j-1}^*(x)$$



“Best” approximation can be obtained with

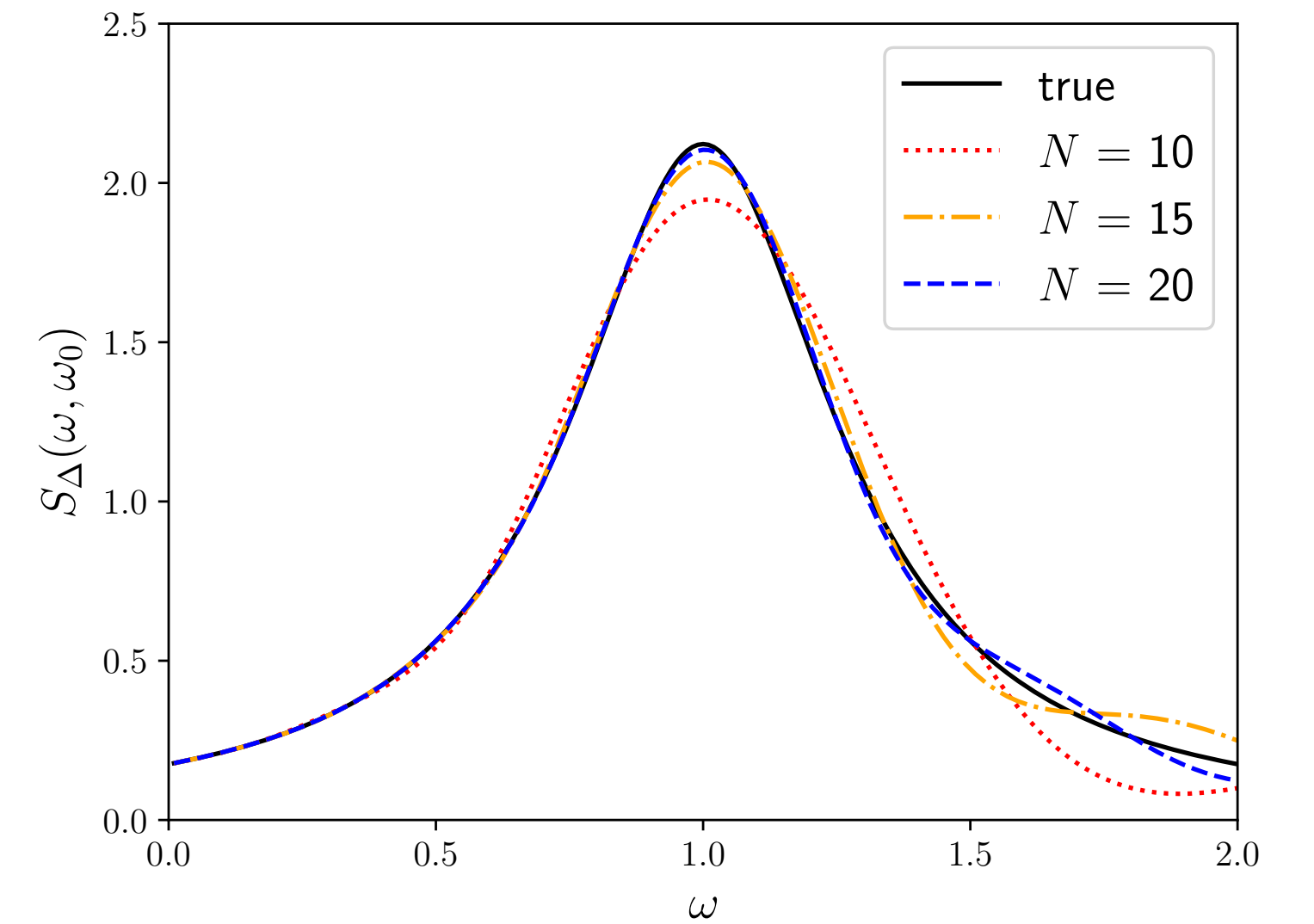
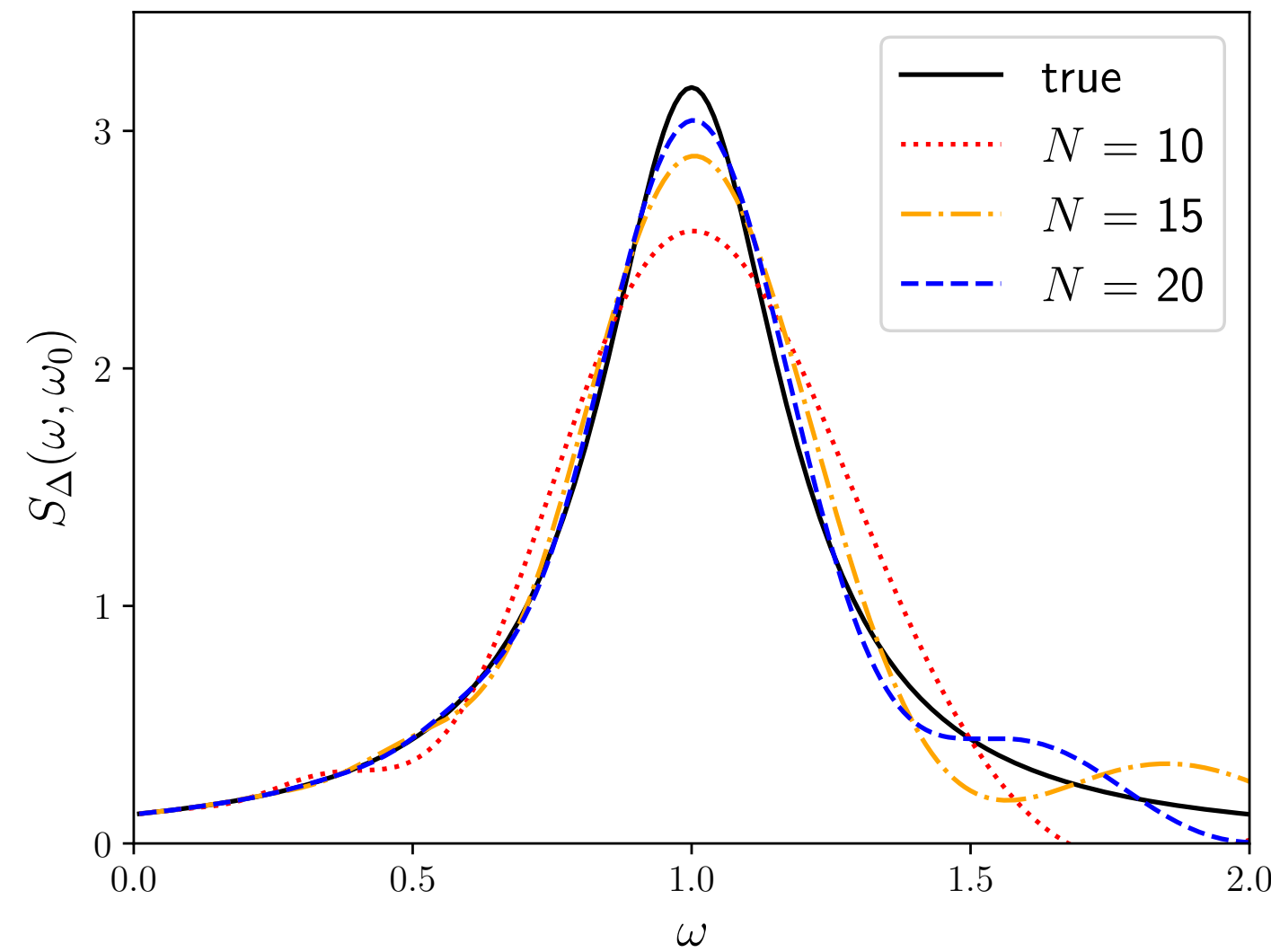
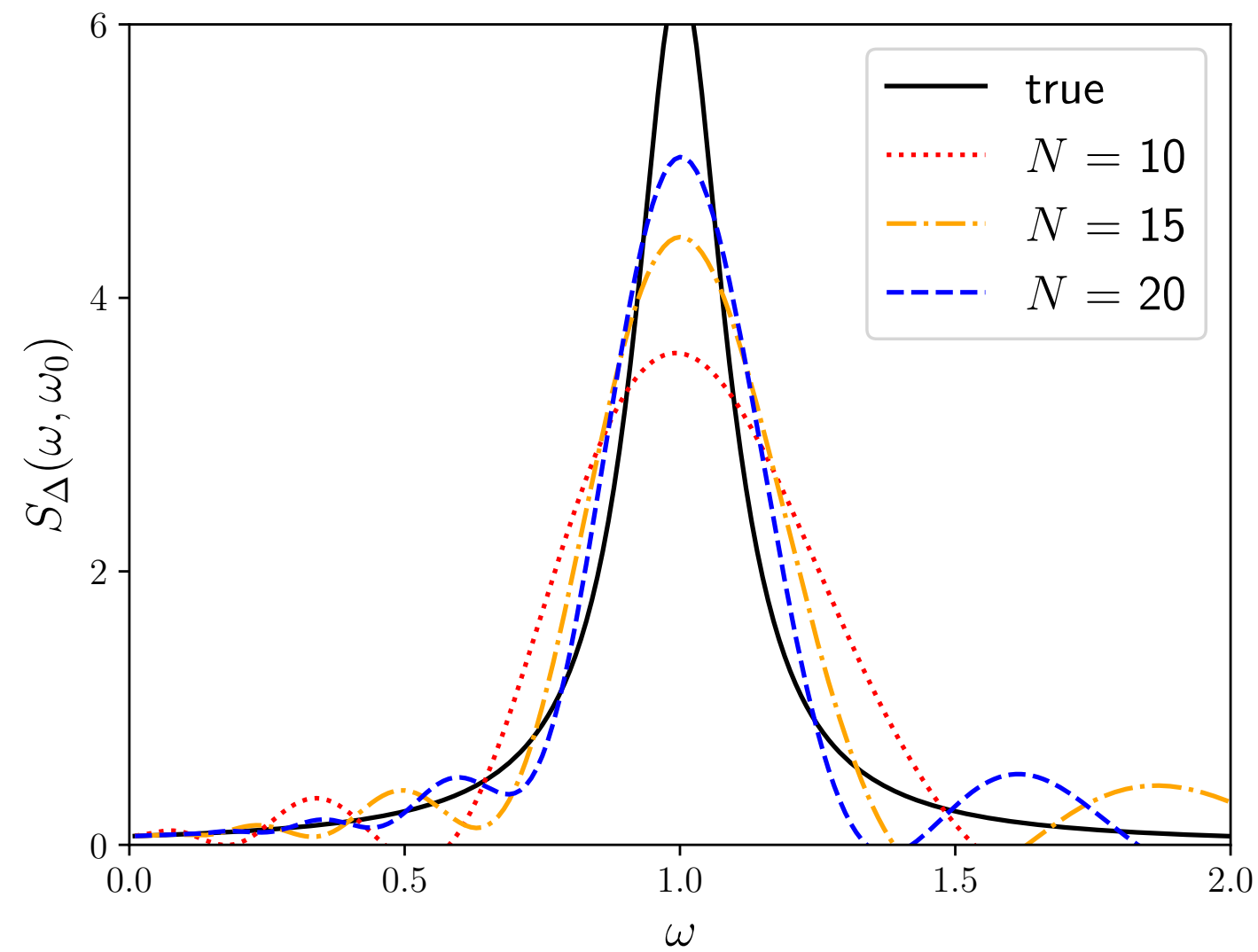
$$c_j^* = \frac{2}{\pi} \int_0^\pi d\theta S \left(-\ln \frac{1 + \cos \theta}{2} \right) \cos(j\theta)$$

“best” = maximal deviation is minimal

チェビシエフ多項式近似：
$$S_{\Delta}(\omega, \hat{H}) \simeq \sum_{j=0}^N c_j(\omega) T_j(e^{-\hat{H}})$$

狭い

広い



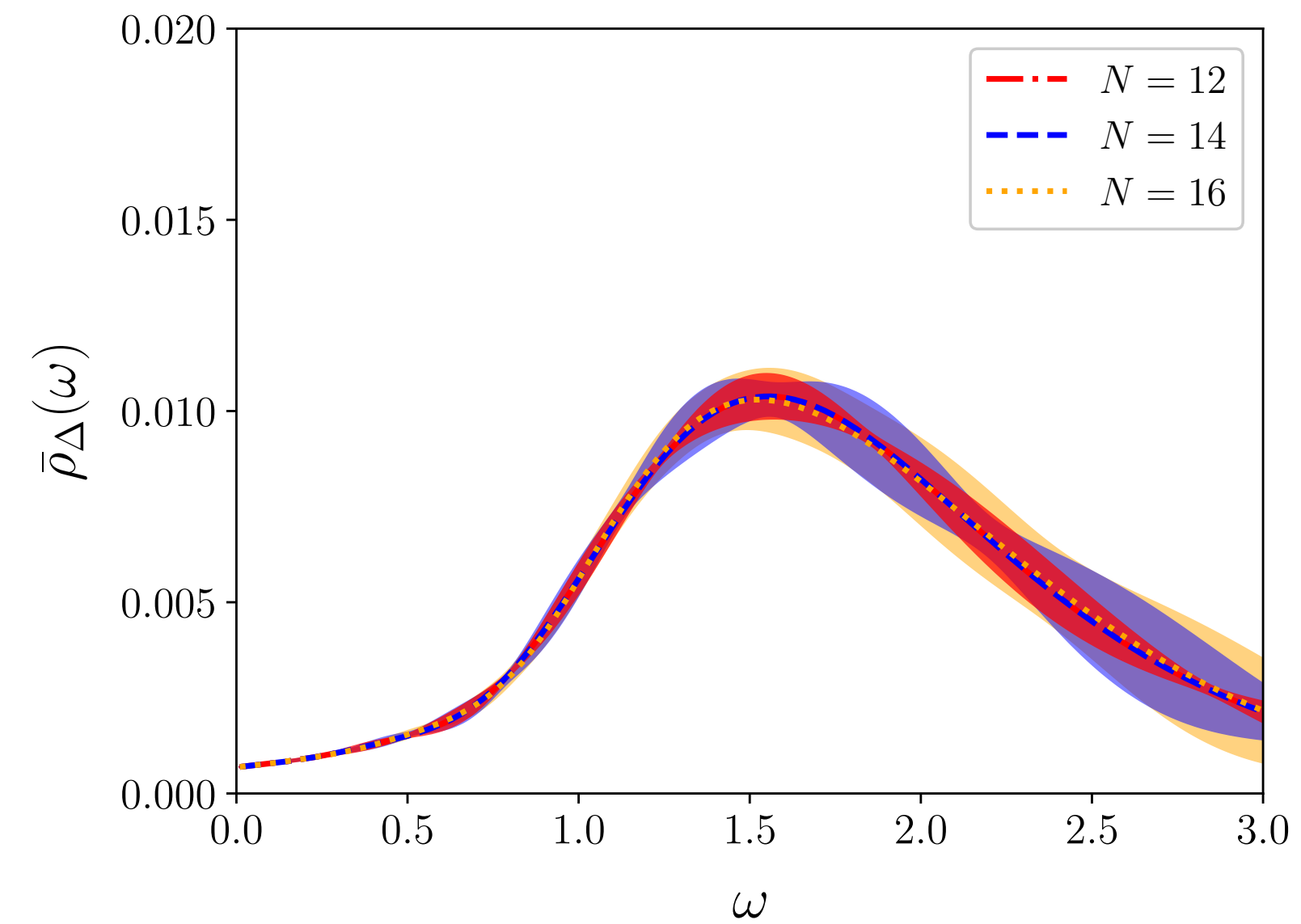
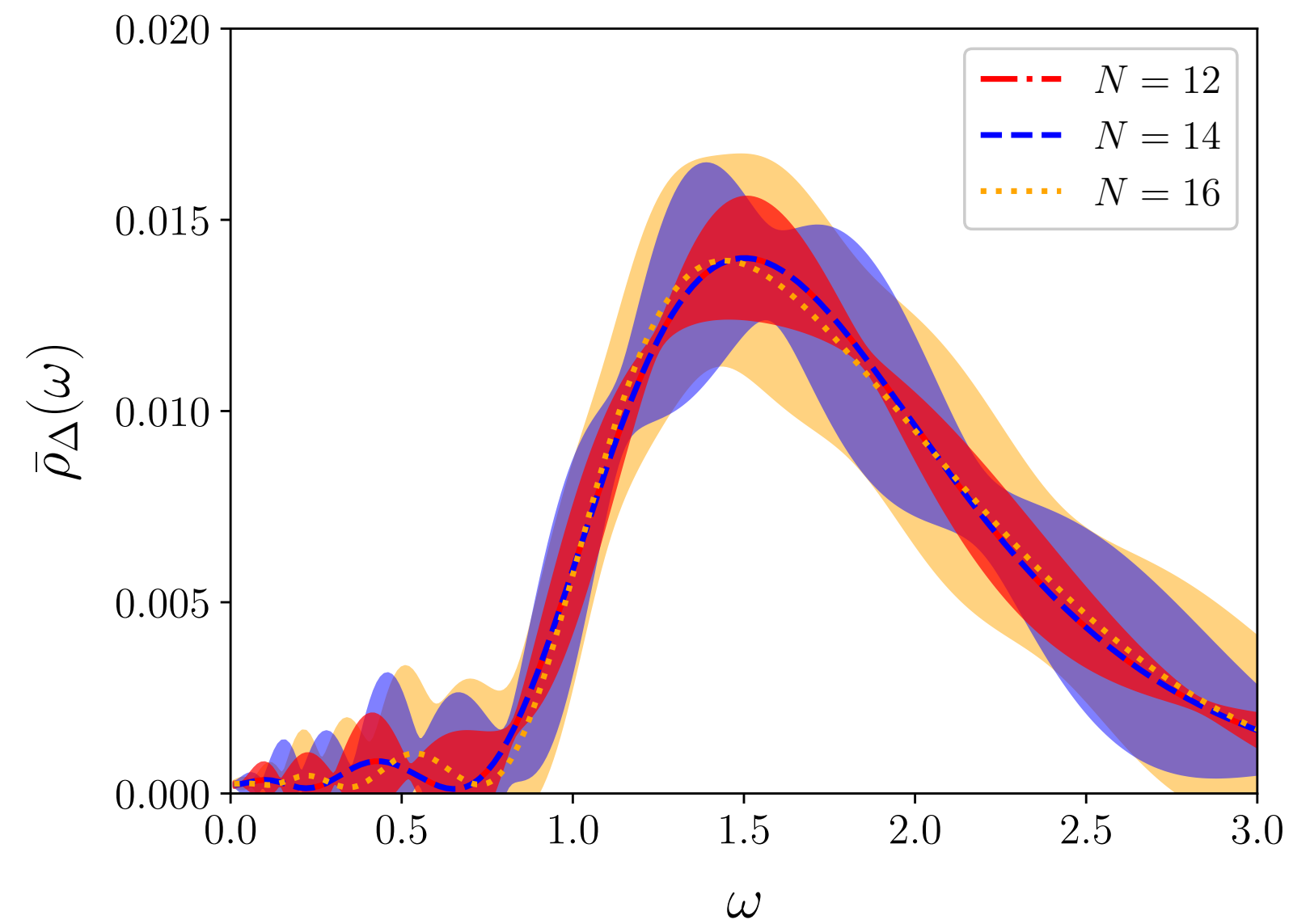
十分に「ぼかし」ておけば、よい精度で近似できる。

ぼかしたスペクトル：チャーモニウムの場合

Bailas, SH, Ishikawa, PTEP 2020, 4, 043B07 (2000); arXiv:2001.11779

狭い

広い



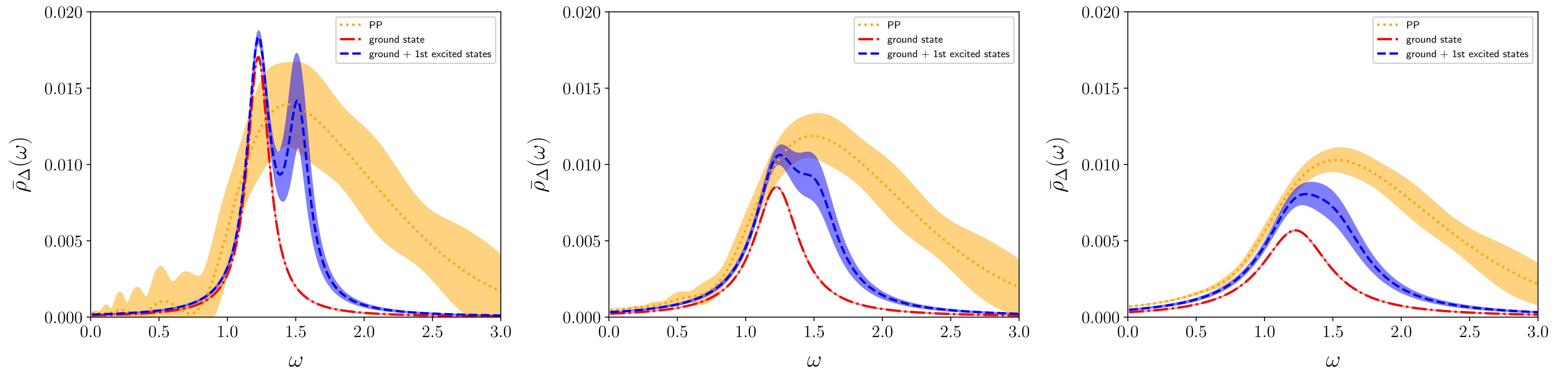
十分に「ぼかし」ておけば、誤差も制御可能

ぼかしたスペクトル：チャーモニウムの場合

Bailas, SH, Ishikawa, PTEP 2020, 4, 043B07 (2000); arXiv:2001.11779

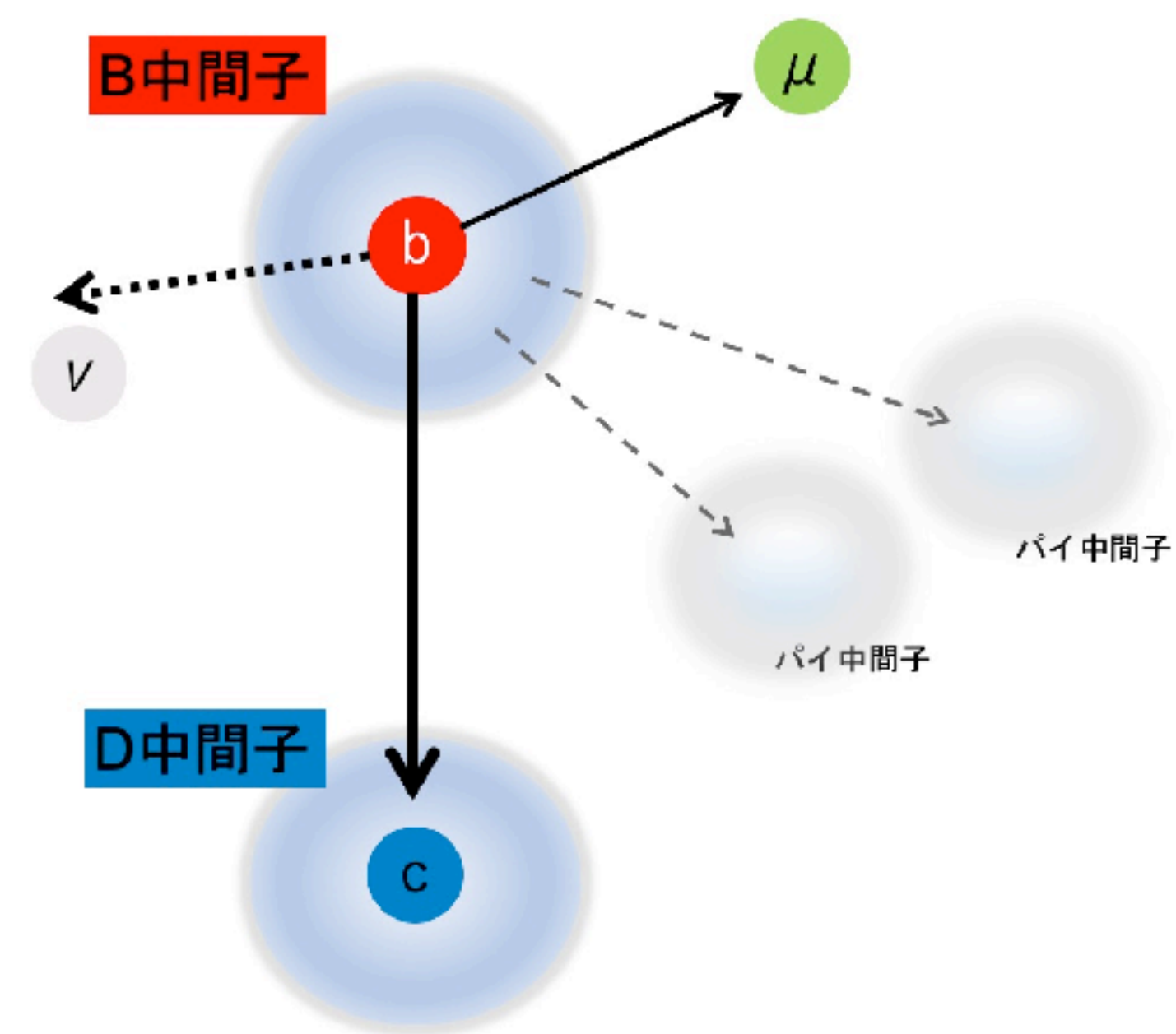
狭い

広い

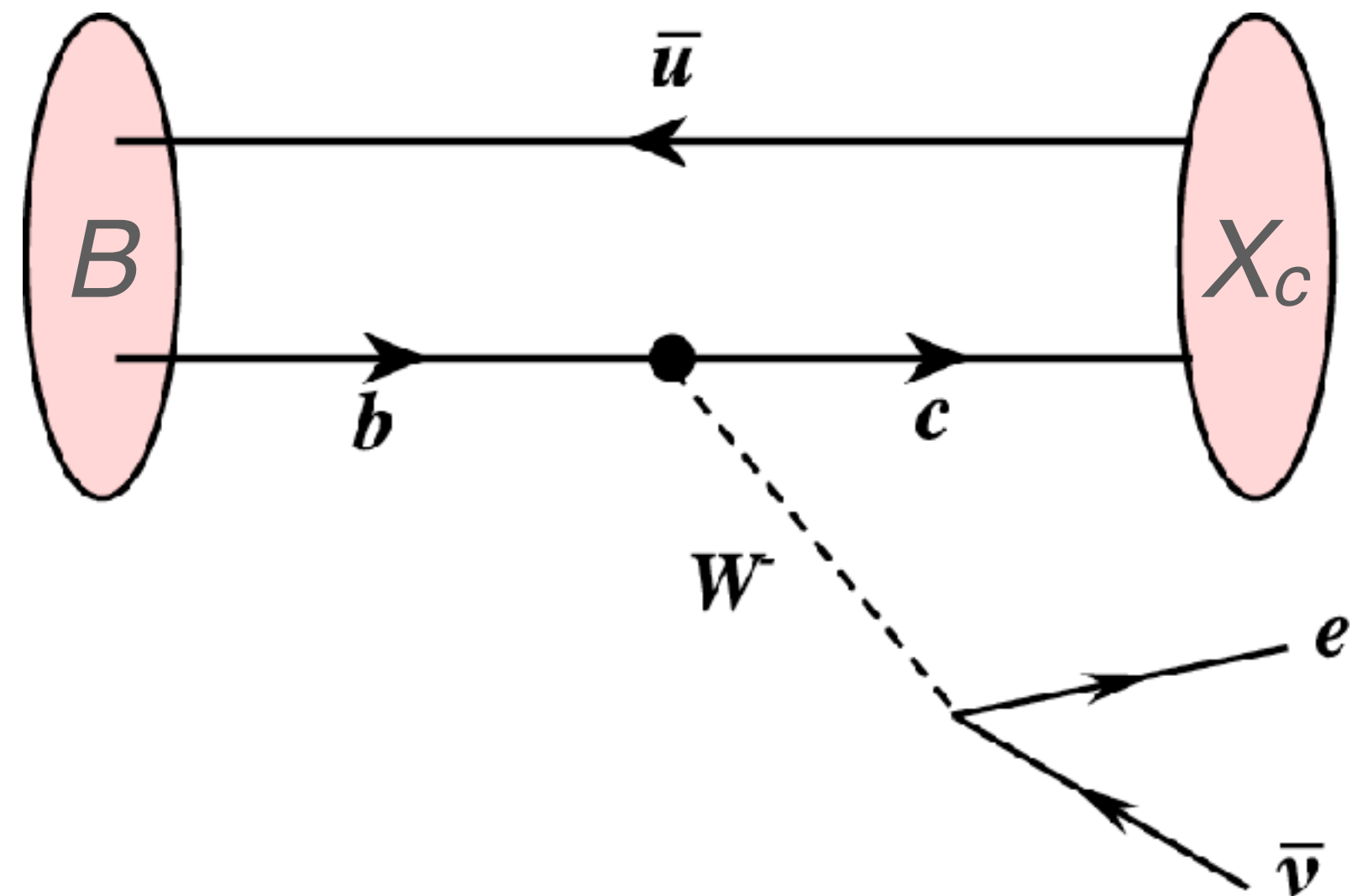


基底状態と第一励起状態の寄与（青）

包括的過程



B中間子のセミレプトニック崩壊



限定的: 指定した終状態 (D, D^*, \dots)

包括的: 終状態に関する和

摂動論で計算できる (or OPE)

Gambino and SH, arXiv:2005.13730

格子計算の新手法:

$$\langle B(\mathbf{0}) | \tilde{J}_\mu^\dagger(-\mathbf{q}; t) \Big| \tilde{J}_\nu(\mathbf{q}; 0) | B(\mathbf{0}) \rangle$$

すべての可能な終状態が現れる

B中間子のセミレプトニック崩壊

微分崩壊率:

$$d\Gamma \sim |V_{cb}|^2 l^{\mu\nu} W_{\mu\nu}$$

構造関数:

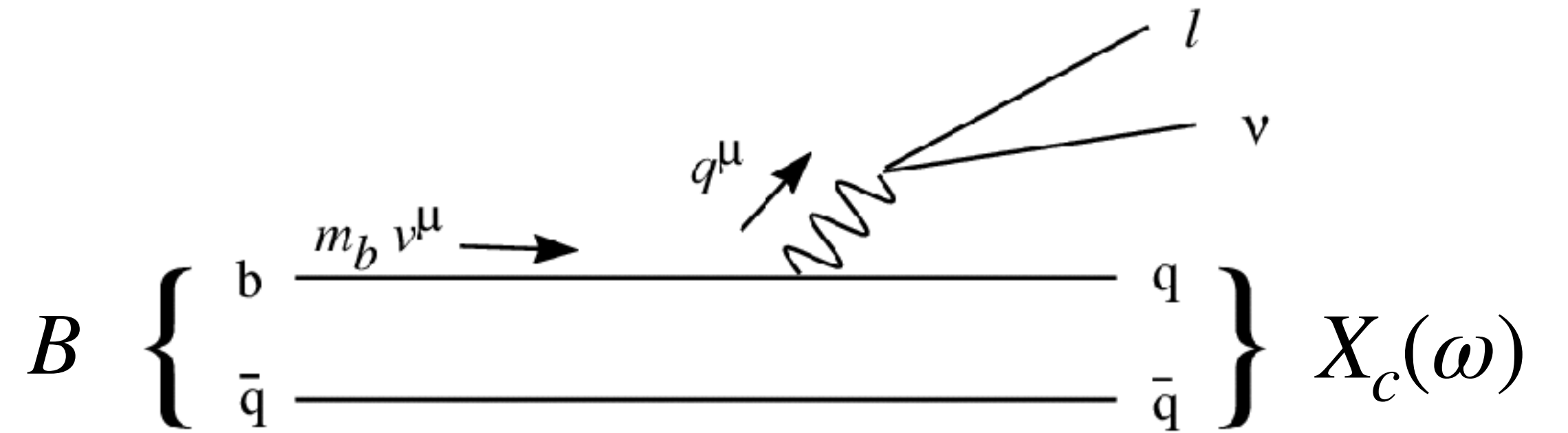
$$W_{\mu\nu} = \sum_X (2\pi)^2 \delta^4(p_B - q - p_X) \frac{1}{2M_B} \langle B(p_B) | J_\mu^\dagger(0) | X \rangle \langle X | J_\nu(0) | B(p_B) \rangle$$

$$\rightarrow \langle B(\mathbf{0}) | \tilde{J}_\mu^\dagger(-\mathbf{q}; t) \delta(\omega - \hat{H}) \tilde{J}_\nu(\mathbf{q}; 0) | B(\mathbf{0}) \rangle$$

崩壊率:

$$\Gamma \propto \int_0^{\mathbf{q}_{\max}^2} d\mathbf{q} \int_{\sqrt{m_D^2 + \mathbf{q}^2}}^{m_B - \sqrt{\mathbf{q}^2}} d\omega K(\omega; \mathbf{q}^2) \langle B(\mathbf{0}) | \tilde{J}^\dagger(-\mathbf{q}) \delta(\omega - \hat{H}) \tilde{J}(\mathbf{q}) | B(\mathbf{0}) \rangle$$

既知の関数



すべての状態の和 = エネルギー積分

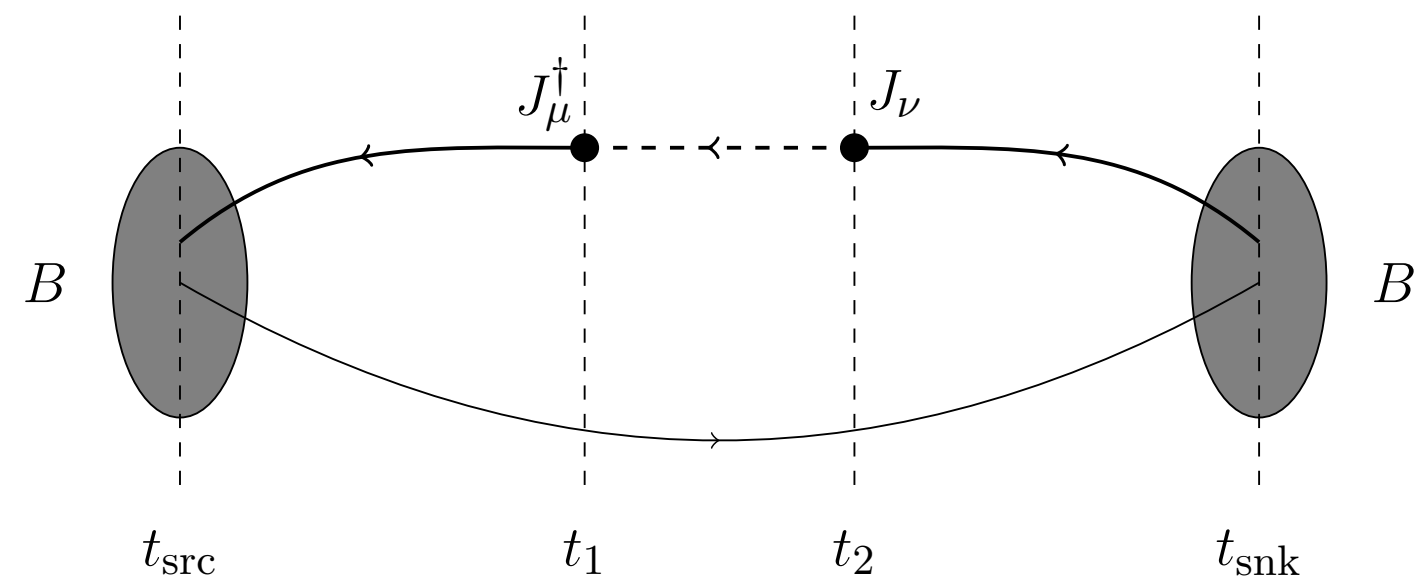
$$\Gamma \propto \int_0^{q_{\max}^2} d\mathbf{q} \int_{\sqrt{m_D^2 + \mathbf{q}^2}}^{m_B - \sqrt{\mathbf{q}^2}} d\omega K(\omega; \mathbf{q}^2) \langle B(\mathbf{0}) | \tilde{J}^\dagger(-\mathbf{q}) \delta(\omega - \hat{H}) \tilde{J}(\mathbf{q}) | B(\mathbf{0}) \rangle$$

$$= \langle B(\mathbf{0}) | \tilde{J}^\dagger(-\mathbf{q}) K(\hat{H}; \mathbf{q}^2) \tilde{J}(\mathbf{q}) | B(\mathbf{0}) \rangle$$



格子計算で求めたコンプトン振幅:

$$\langle B(\mathbf{0}) | \tilde{J}_\mu^\dagger(-\mathbf{q}; t) \tilde{J}_\nu(\mathbf{q}; 0) | B(\mathbf{0}) \rangle \longrightarrow \langle B(\mathbf{0}) | \tilde{J}^\dagger(-\mathbf{q}) e^{-\hat{H}t} \tilde{J}(\mathbf{q}) | B(\mathbf{0}) \rangle$$



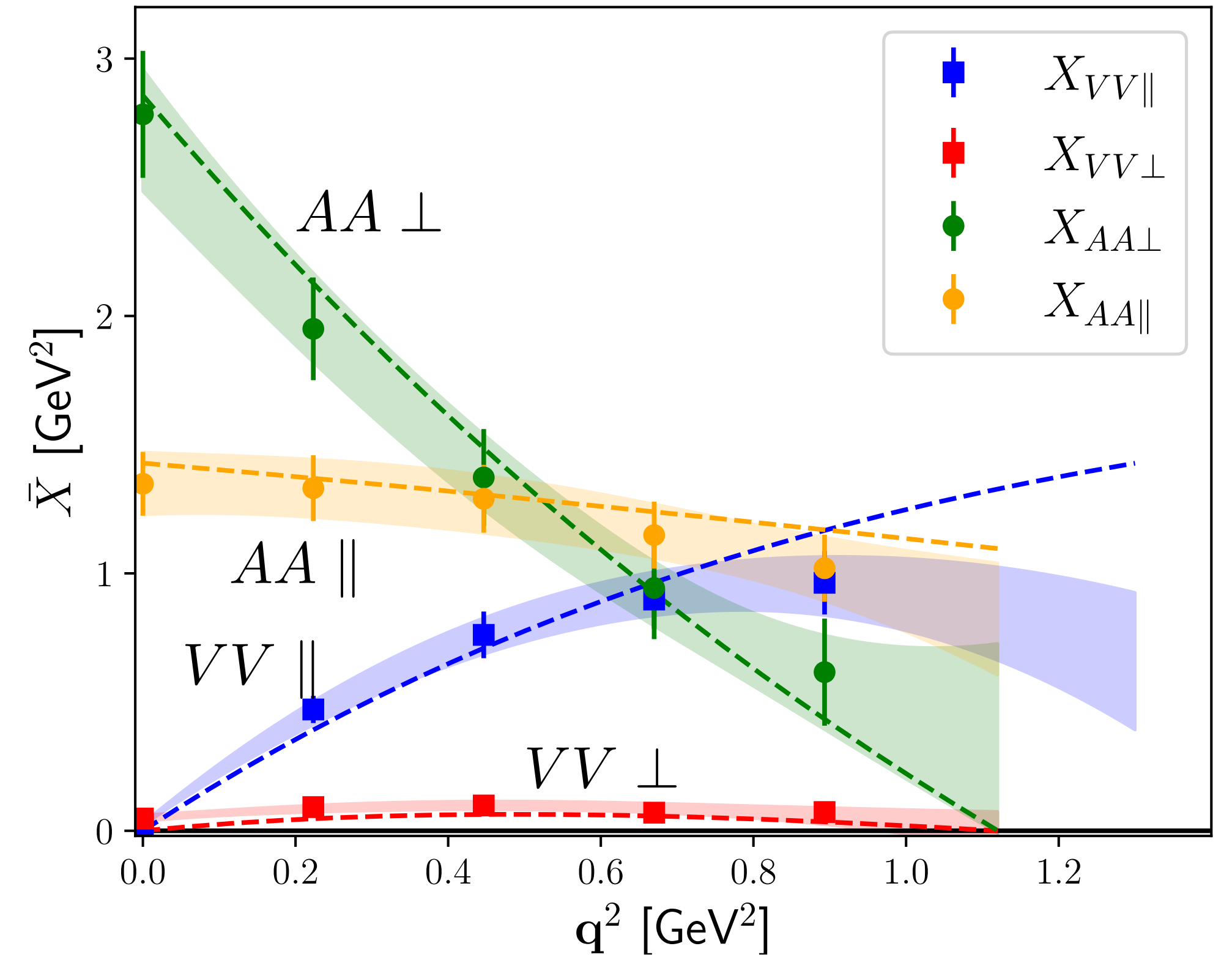
近似:

$$K(\hat{H}) = k_0 + k_1 e^{-\hat{H}} + k_2 e^{-2\hat{H}} + \dots + k_N e^{-k_N \hat{H}}$$

包括的崩壊確率

- テスト的な格子計算
 - $B_s \rightarrow X_c$
 - ただし、ボトムクォークは現実よりも軽い。
- 成分ごとの微分崩壊確率
 - VV と AA
 - 反跳運動量に「平行」と「垂直」
 - 崩壊モードに限定した場合との比較
 - VV_{\parallel} はほとんど $B \rightarrow D$
 - 他はすべて $B \rightarrow D^*$

微分崩壊確率 / $|q|$



できること：いっぱいある

- ✓ 精密計算：g-2 の進歩を見よ
- ✓ 散乱、崩壊： $K \rightarrow \pi\pi$ も計算できる

困っていること：やっぱりある

- ✓ 大きな壁はノイズ
- ✓ D中間子混合、 $B \rightarrow \pi\pi$ が難しいのも同根